



Beam dump 実験 と 新物理探索

[Sho Iwamoto](#) (岩本 祥)

ELTE Eötvös Loránd University

<http://pppheno.elte.hu/>

→ 國立中山大學 NSYSU (臺灣・高雄市) へ

10 Nov. 2022

Flavor Physics Workshop 2022 @ 静岡県伊豆の国市

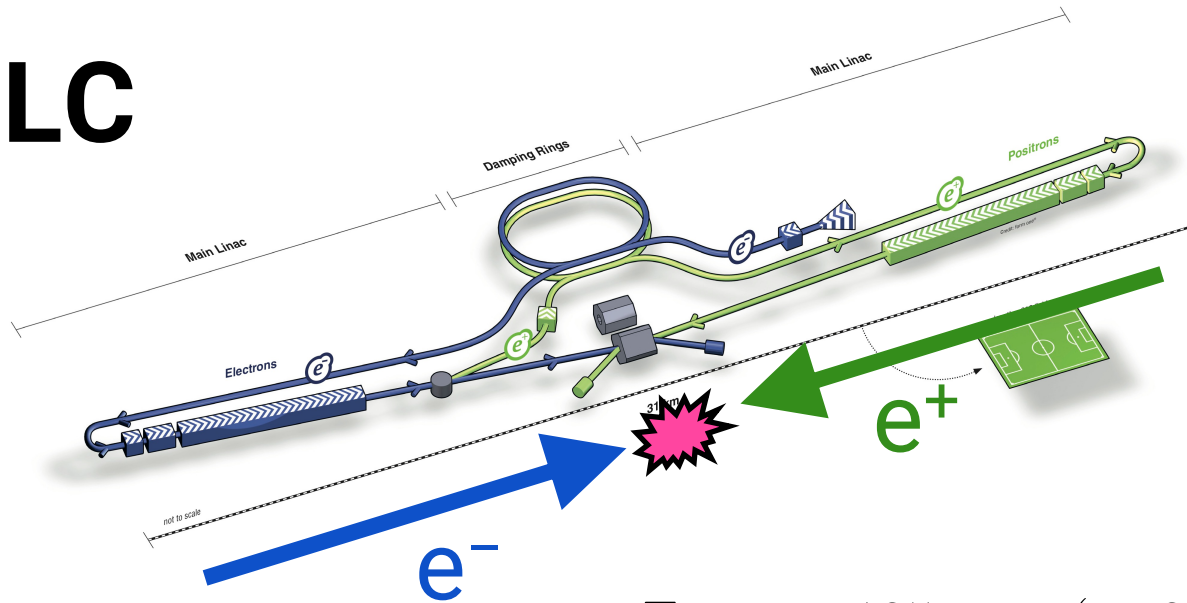
上田 大輝 (北京大 CHEP), 坂木 泰仁 (KEK), 浅井 健人 (東大 ICRR) の各氏との共同研究

[arXiv:2105.13768](https://arxiv.org/abs/2105.13768) + α を中心に話します。

1. 導入 「ILC beam dump 実験」
2. 背後の理論 「探索対象は何？」
3. ILC beam dump 実験の特性評価
4. さらに詳しく (時間のある限り)

上田 大輝 (北京大 CHEP), 坂木 泰仁 (KEK), 浅井 健人 (東大 ICRR) の各氏との共同研究
[arXiv:2105.13768](https://arxiv.org/abs/2105.13768) + α を中心に話します。

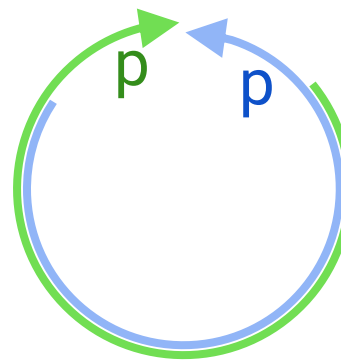
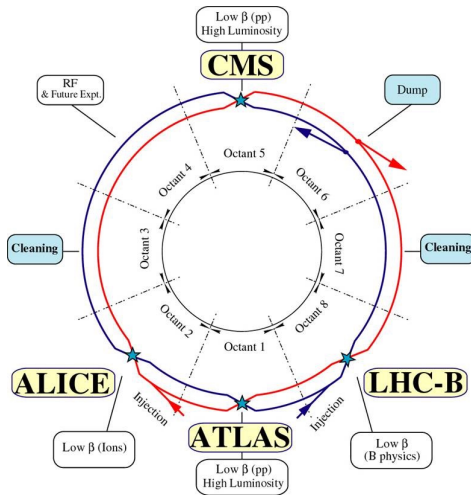
ILC



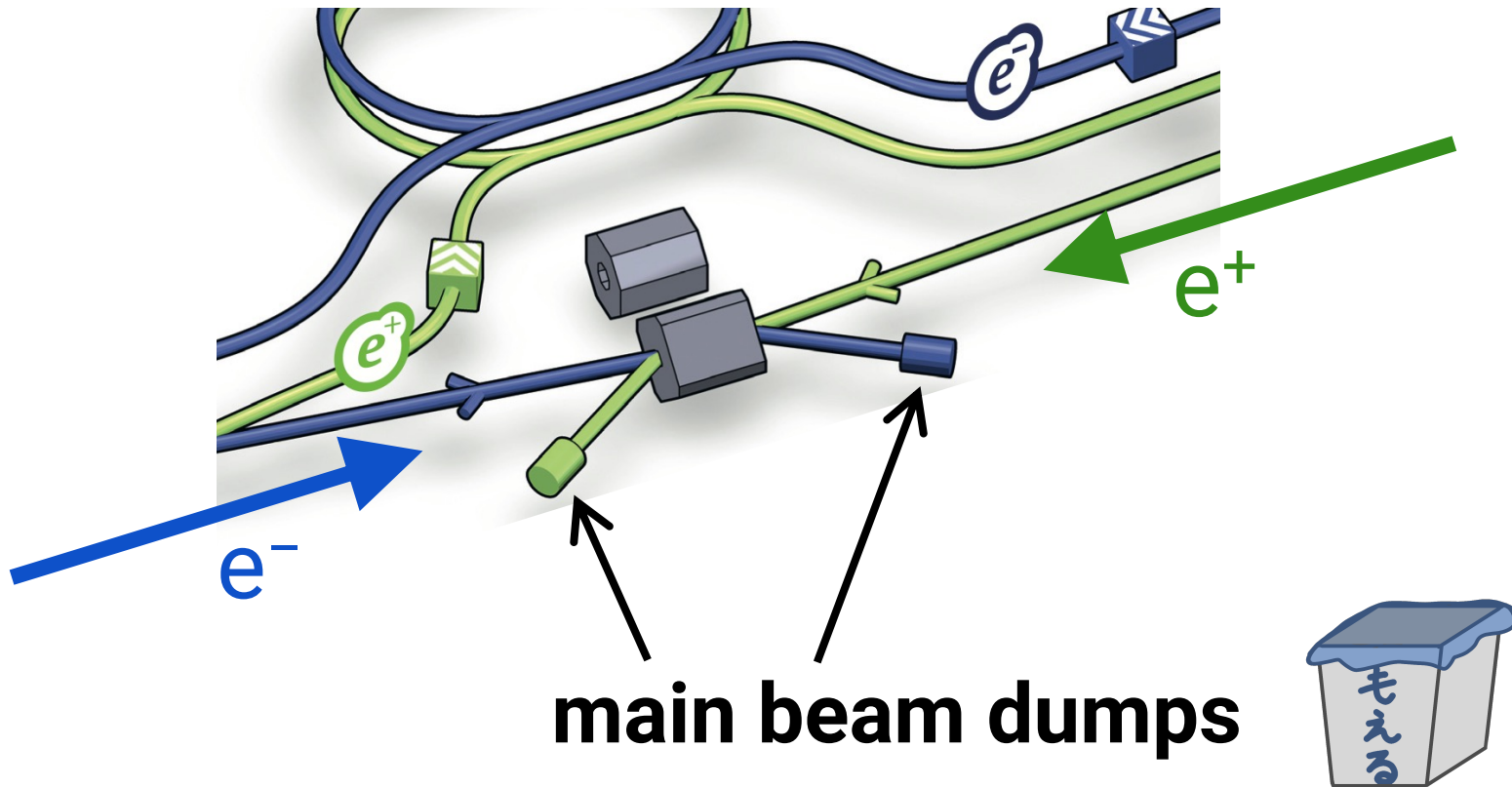
$$E_{\text{beam}} = 125 \text{ GeV} \quad (\rightarrow 250 \text{ GeV?} \rightarrow 500 \text{ GeV?})$$

Quiz: なぜまっすぐ？

(参考 : LHC @ CERN)



ILC

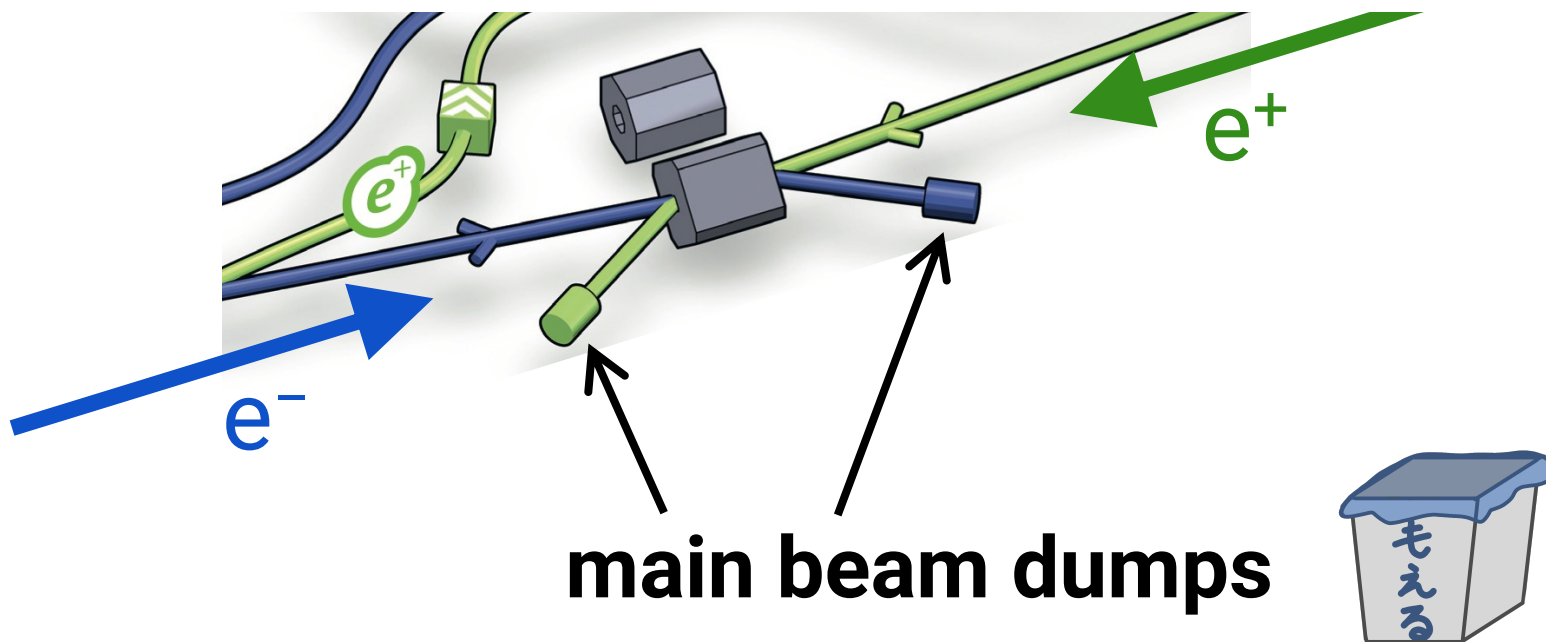
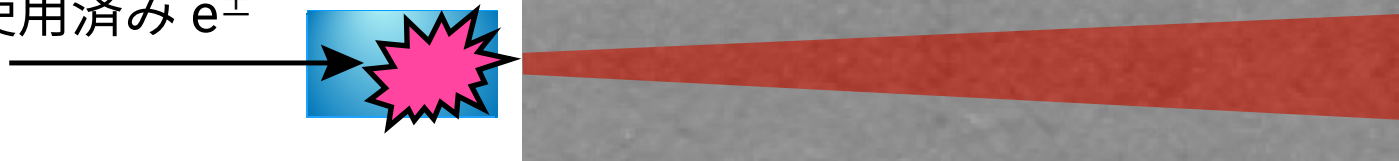


もったいない！ → SDGs

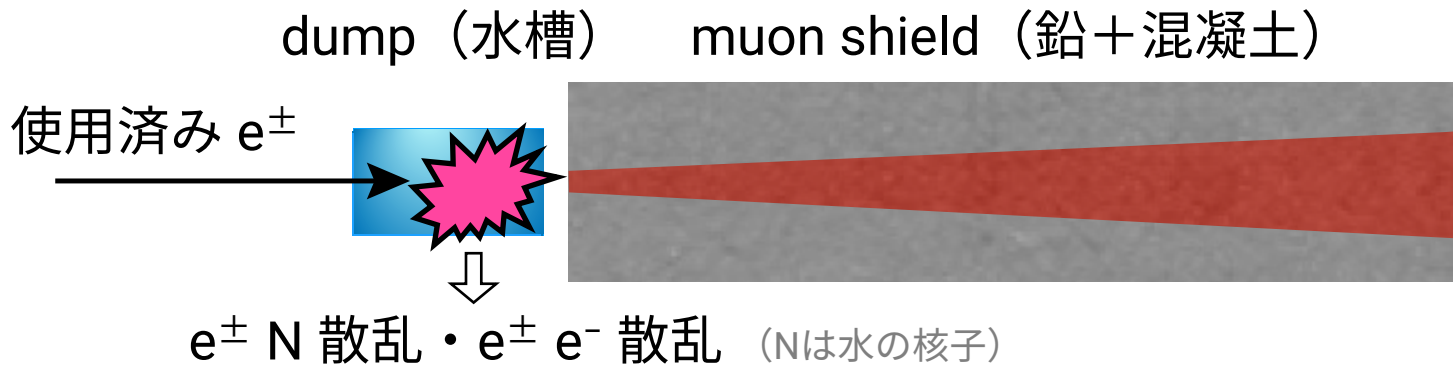
dump (水槽)

muon shield (鉛+混凝土)

使用済み e^\pm



もったいない！ → SDGs



固定標的衝突実験 『ILC beam dump 実験』 ができそう！

Kanemura, Moroi, Tanabe [[1507.02809](#)]

| | center-of-mass energy $E_{CM} (= \sqrt{s})$ | 衝突頻度 | 値段 |
|--------------|--|------|-----------|
| beam-beam 衝突 | 高い | 少ない | 高い |
| 固定標的衝突 | 低い | 多い | 安い |

特に ILC だと
beam は再利用
→ 検出器代のみ！

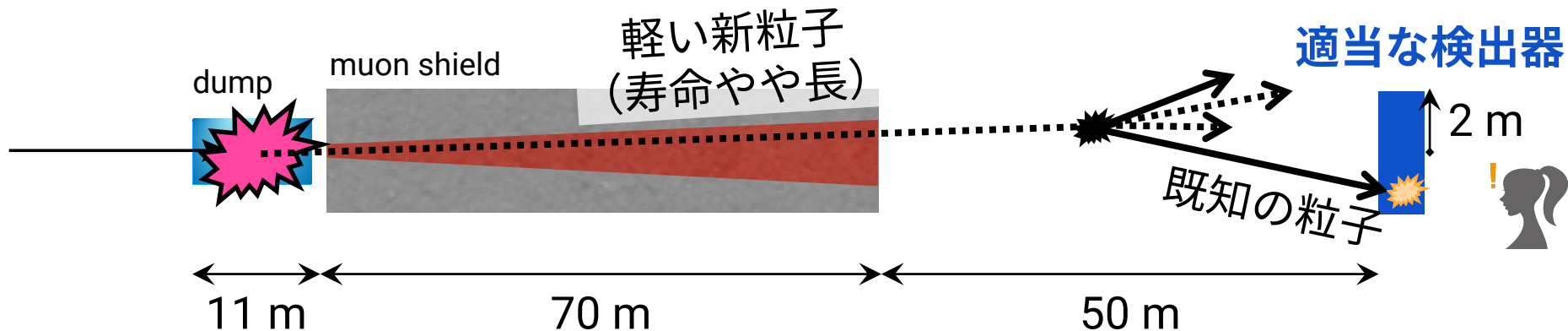
$E_{\text{beam}} = 125 \text{ GeV}$ なら (以下すべて同じ)

$$E_{CM} = \sqrt{2mE_{\text{beam}}} = \begin{cases} 15 \text{ GeV} & (e^\pm N) \\ 0.36 \text{ GeV} & (e^\pm e^-) \end{cases}$$

→ GeV より軽い新粒子を探す

Quiz: 導出

[解答→初日の渡邊さんの発表資料]



Sakaki, Ueda [2009.13790]
 Asai, Iwamoto, Sakaki, Ueda [2105.13768]

$E_{\text{beam}} = 125 \text{ GeV}$ なら (以下すべて同じ)

$$E_{\text{CM}} = \sqrt{2mE_{\text{beam}}} = \begin{cases} 15 \text{ GeV} & (e^{\pm}N) \\ 0.36 \text{ GeV} & (e^{\pm}e^{-}) \end{cases}$$

→ GeV より軽く, shield をすりぬけ,
 100 m 程で崩壊する新粒子を探す

【資料用】類似の実験たち.....のごく一部。

| 固定標的実験 | 時代と場所 | 特性 (粒子数, 検出器までの距離など) | | | |
|----------------------------|-----------------|---|-----------|----------------|-----------|
| RSC, CIB, BHOP | 1979, BNL | p, | 28 GeV, | 計 10^{19} 個, | 43–105 m |
| ABCDLOS, CDHS, CHARM | 1979, CERN | p, | 400 GeV, | 計 10^{18} 個, | 820–910 m |
| CHARM II | 1991, CERN | p, | 450 GeV, | 10^{19} 個, | 870 m |
| U70 (ν -Cal I) | 1989, Serpukhov | p, | 70 GeV, | 10^{18} 個, | 70 m |
| E141 | 1987, SLAC | e^- | 9 GeV, | 10^{15} 個, | 40 m |
| E137 | 1988, SLAC | e^- , | 20 GeV, | 10^{20} 個, | 400 m |
| E774 | 1991, FNAL | e^- , | 275 GeV, | 10^{10} 個, | 2 m |
| KEK LBDX | 1986, KEK | e^- , | 2.5 GeV, | 10^{17} 個, | 5 m |
| Orsay | 1989, Orsay | e^- , | 1.6 GeV, | 10^{16} 個, | 3 m |
| PADME | 現在, Frascati | 陽電子, | 0.55 GeV, | 10^{13} 個/年, | $O(1)$ m |
| BDX @ Jefferson Lab | 2027?, JLab | e^- , | 11 GeV, | 10^{22} 個/年, | 20 m |
| SHiP | LHC Run 4, CERN | p, | 400 GeV, | 10^{19} 個/年, | 120 m |
| DARKMESA | ????, Mainz | e^- , | 0.16 GeV, | 10^{22} 個/年, | 30 m |
| ILC beam dump | ????, Iwate | e^- /陽電子, | 125 GeV, | 10^{21} 個/年, | 120 m |
| 逃げる粒子を捕獲する実験 | | | | | |
| FASER [cf. 浅井さんの講演] | 現在, CERN | ATLAS から前方に逃げる長寿命粒子 | | | |
| MATHUSLA, ANUBIS, CODEX-b | LHC Run 4, CERN | それぞれ CMS / ATLAS / LHCb 衝突点から横に逃げる長寿命粒子 | | | |

このまとめは主観的 (雑) なのでそのままの利用・転載は非推奨。数字はすべて概数。LSND, MiniBooNE などの neutrino 系実験も beam dump 実験の一種(?)だがここには非掲載。他にも NA64e, NA64 μ など類似の重要な実験はたくさん。覚えられない。参考文献：たとえば Dydak [CERN-EP-80-204], Andreas, Niebuhr, Ringwald [1209.6083]

TABLE I: Summary of dark photon experiments.

| Experiment | Lab | Production | Detection | Vertex | Mass(MeV) | Mass Res. (MeV) | Beam | Ebeam (GeV) | Ibeam or Lumi | Machine | Ist Run | Next Run |
|------------|----------|------------|----------------|--------|-------------------|-----------------|----------|-------------|---|------------|---------|----------|
| APEX | JLab | e-brem | $\ell^+\ell^-$ | no | 65 – 600 | 0.5% | e^- | 1.1–4.5 | 150 μ A | CEBAF(A) | 2010 | 2018 |
| A1 | Mainz | e-brem | e^+e^- | no | 40 – 300 | ? | e^- | 0.2–0.9 | 140 μ A | MAMI | 2011 | – |
| HPS | JLab | e-brem | e^+e^- | yes | 20 – 200 | 1–2 | e^- | 1–6 | 50–500 nA | CEBAF(B) | 2015 | 2018 |
| DarkLight | JLab | e-brem | e^+e^- | no | < 80 | ? | e^- | 0.1 | 10 mA | LERF | 2016 | 2018 |
| MAGIX | Mainz | e-brem | e^+e^- | no | 10 – 60 | ? | e^- | 0.155 | 1 mA | MESA | 2020 | – |
| NA64 | CERN | e-brem | e^+e^- | no | 1 – 50 | ? | e^- | 100 | 2×10^{11} EOT/yr | SPS | 2017 | 2022 |
| Super-HPS | SLAC | e-brem | vis | yes | < 500 | ? | e^- | 4 – 8 | 1 μ A | DASEL | ? | ? |
| (TBD) | Cornell | e-brem | e^+e^- | ? | < 100 | ? | e^- | 0.1-0.3 | 100 mA | CBETA | ? | ? |
| VEPP3 | Budker | annih | invis | no | 5 – 22 | 1 | e^+ | 0.500 | 10^{33} cm ⁻² s ⁻¹ | VEPP3 | 2019 | ? |
| PADME | Frascati | annih | invis | no | 1 – 24 | 2 – 5 | e^+ | 0.550 | $\leq 10^{14}$ e ⁺ OT/y | Linac | 2018 | ? |
| MMAPS | Cornell | annih | invis | no | 20 – 78 | 1 – 6 | e^+ | 6.0 | 10^{34} cm ⁻² s ⁻¹ | Synchr | ? | ? |
| KLOE 2 | Frascati | several | vis/invis | no | < 1.1 GeV | 1.5 | e^+e^- | 0.51 | 2×10^{32} cm ⁻² s ⁻¹ | DAφNE | 2014 | - |
| Belle II | KEK | several | vis/invis | no | $\lesssim 10$ GeV | 1 – 5 | e^+e^- | 4 × 7 | 1 ~ 10 ab ⁻¹ /y | Super-KEKB | 2018 | - |
| SeaQuest | FNAL | several | $\mu^+\mu^-$ | yes | $\lesssim 10$ GeV | 3 – 6% | p | 120 | 10 ¹⁸ POT/y | MI | 2017 | 2020 |
| SHIP | CERN | several | vis | yes | $\lesssim 10$ GeV | 1 – 2 | p | 400 | 2×10^{20} POT/5y | SPS | 2026 | - |
| LHCb | CERN | several | $\ell^+\ell^-$ | yes | $\lesssim 40$ GeV | ~ 4 | pp | 6500 | ~ 10 fb ⁻¹ /y | LHC | 2010 | 2015 |

【資料用】世界の beam dump から

| Laboratory | Name | Particle | Max Beam Power |
|---------------|----------------------------------|---------------|---|
| ILC | Main Beam Dump | e^- & e^+ | 1 st stage:2.6MW(125GeV×21μA) Upgrade:14MW(500GeV×28μA) |
| SLAC | Water Dump (at End-Station) [4] | e^- & e^+ | 2.2MW (ex. 20GeV×110μA) |
| SLAC | SL-30[5] | e^- | 600kW (20GeV×30μA) |
| Jefferson Lab | Beam Dump (Hall A & B) [6] | e^- | 1MW (ex. 5GeV ×200μA) |
| E-XFEL | Main Beam Dump [7] | e^- | 300kW (ex. 25GeV×12μA) |
| KEK | SKEKB Beam Dump [8] | e^- & e^+ | 182kJ (7GeV×26μC) |
| CERN | HL-LHC Beam Dump [9] | Proton | 680MJ (7TeV×97μC) |
| J-PARC | Neutron Target [10] | Proton | 1MW (3GeV×333μA) |
| J-PARC | Hadron-hall Beam Dump [11] | Proton | 750kW (50GeV×15μA) |
| J-PARC | Neutrino-facility Beam Dump [12] | Proton | 750kW (30GeV×25μA) |
| ESS | Neutron Target [13] | Proton | 5MW (2GeV×2.5mA) |
| IFMIF LIPAc | Beam Dump (at Linac End) [14] | Deuteron | 1.125MW (9MeV×125mA) |

*上記の通り抜粋したが、他にも大強度ビームダンプ事例はある。

*Max Beam Power は設計時に想定した値である。必ずしも運転実績があるわけではない。

* e^- & e^+ は電子と陽電子を指す。

*SKEKB Beam Dump、HL-LHC Beam Dump は1度に止めるビーム熱量(J)を示す。

*J-PARC や ESS の Neutron Target はビームをフルストップする。ビームダンプも担っている。

1. 導入

- ✓ ILC beam dump での固定標的散乱実験。
- ✓ 固定標的実験の特性。「やや長寿命な軽い新粒子」。

2. 背後の理論 「探索対象は何？」

3. ILC beam dump 実験の特性評価

4. さらに詳しく (時間のある限り)

!!! 暗黒物質

!!! 暗黒 energy

!!! 重力の量子化

!!! ν の質量

!? Muon $g-2$ の逸脱

!? Flavor 関連過程の逸脱 ($b \rightarrow s\mu\mu$, $R(D)$, $R(D^*)$, ...)

!? Baryon 非対称性の起源

? 宇宙の一様等方性の由来

? U(1)電荷が有理数である理由

? Scalar 粒子が 1 世代しかない不思議

? θ_{QCD} が微小な理由 (strong CP 問題)

? 標準模型 parameters の由緒

→ どうせまた

新粒子があるんでしょ？ (安易)

→ 「新粒子探索」

!!! 暗黒物質

!!! 暗黒 energy

!!! 重力の量子化

!!! ν の質量

!? Muon $g-2$ の逸脱

!? Flavor 関連過程の逸脱 ($b \rightarrow s\mu\mu$, $R(D)$, $R(D^*)$, ...)

!? Baryon 非対称性の起源

? 宇宙の一様等方性の由来

? U(1)電荷が有理数である理由

? Scalar 粒子が 1 世代しかない不思議

? θ_{QCD} が微小な理由 (strong CP 問題)

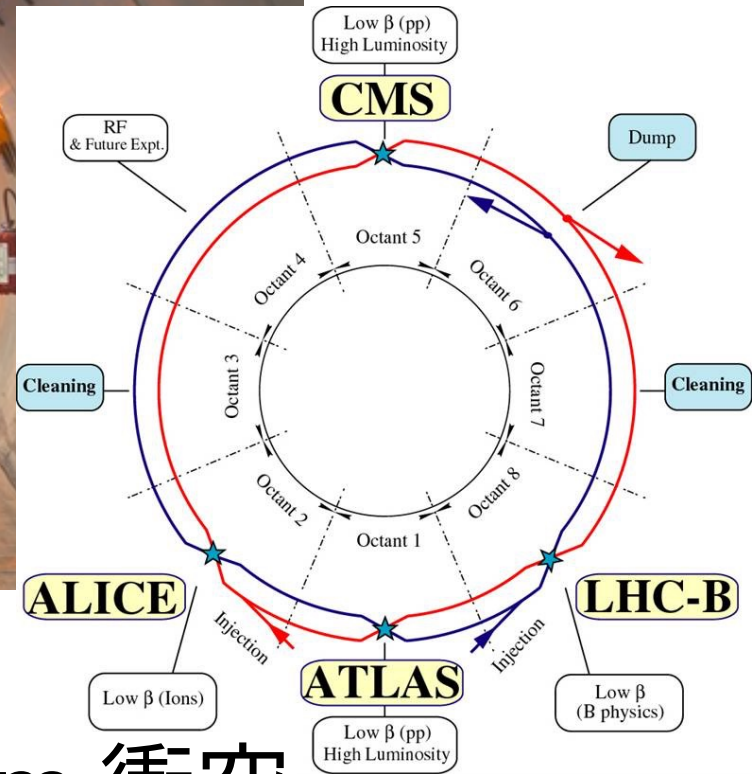
? 標準模型 parameters の由緒

→ どうせまた
新粒子があるんでしょ？

→ 「新粒子探索」

(素直で
妥当な
言説s)

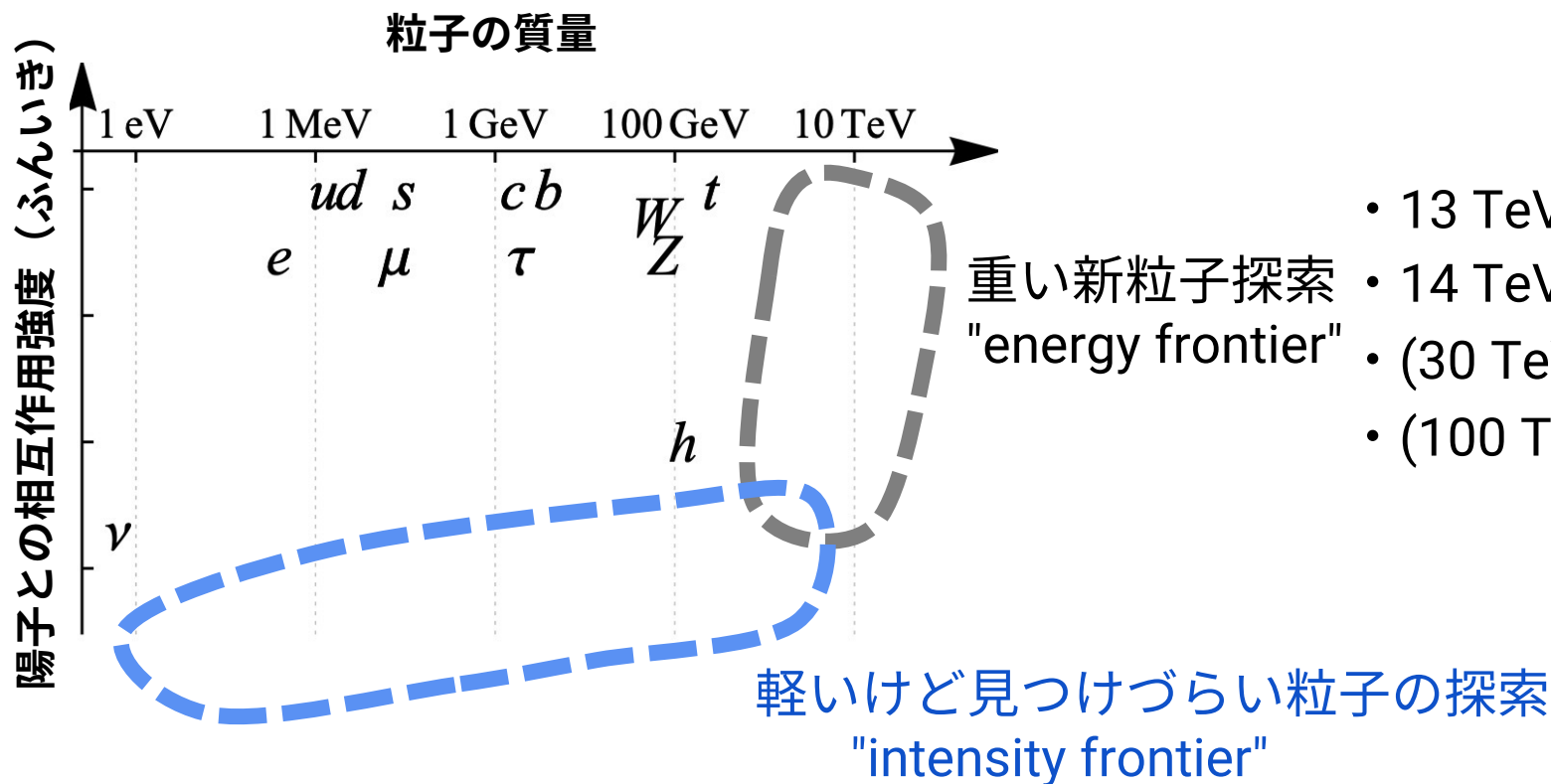




$\sqrt{s} = 7-14 \text{ TeV}$ p-p beam 衝突

- Higgs 粒子を発見した。 (標準模型の完成)
- Higgs 機構 / Yukawa 扇区の妥当性を検証した。

EF と IF, 両方の frontiers を攻めていくのが賢い。

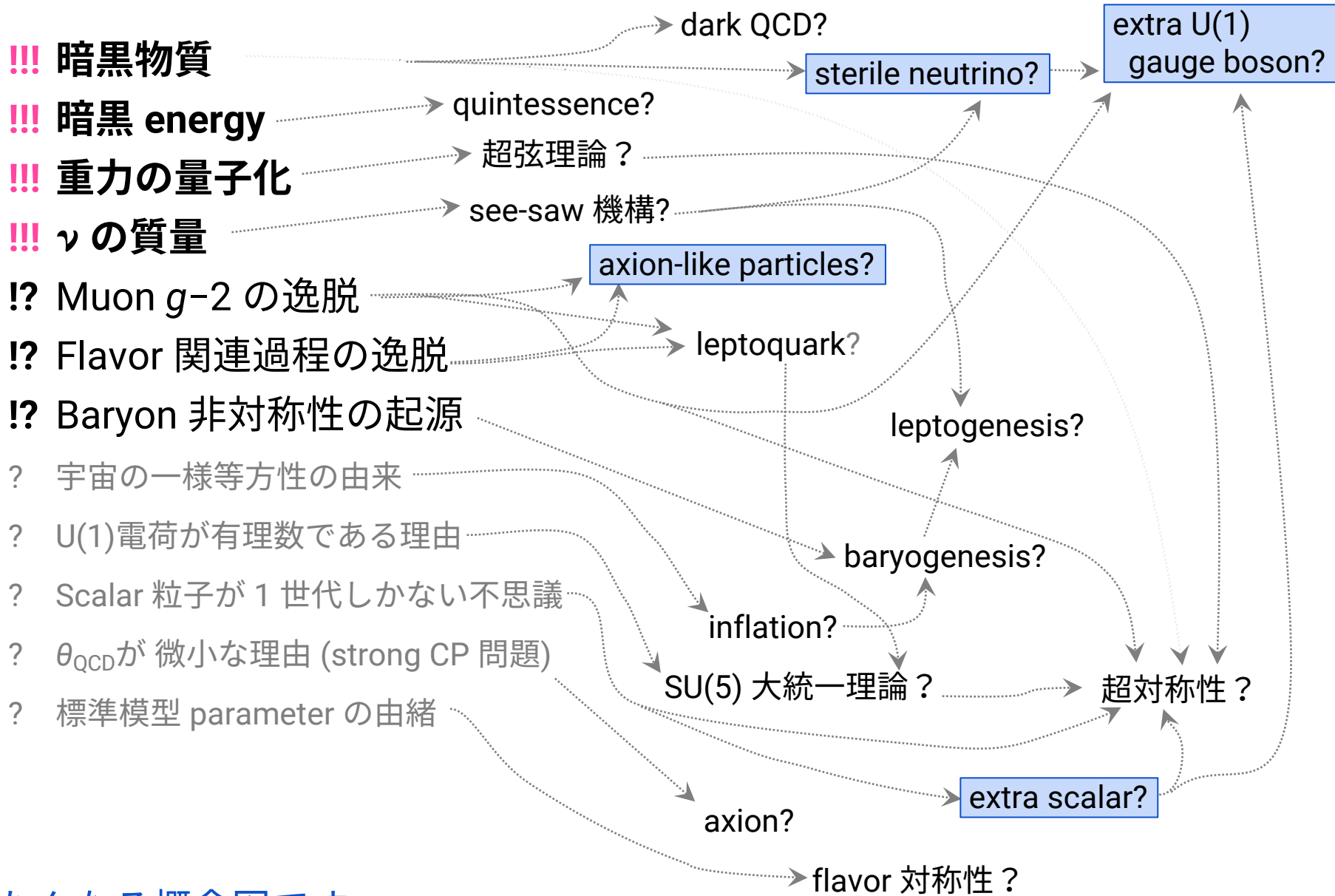


- 13 TeV LHC
- 14 TeV HL-LHC
- (30 TeV HE-LHC?)
- (100 TeV FCC-hh?)

- Belle (1040 /fb)
- Belle II (50000 /fb?)
- 固定標的実験
- (ILC : 3000 /fb?)

| | E_{CM} | 衝突頻度 | 値段 |
|-----------|----------|-------|----|
| beam-beam | 高い→EF | 少ない | 高い |
| 固定標的 | 低い | 多い→IF | 安い |

どんな sub-GeV 新粒子を探す？



(たんなる概念図です。
実際に探索できるかは仮設模型の詳細しだい。)

今回はとりあえず benchmark 用の安易な単純な scenarios で。

■ Dark photon 『もしも U(1) 対称性がもう 1 つあったら.....』

$$\mathcal{L} \supset -\frac{1}{4}F'^{\mu\nu}F'_{\mu\nu} + \frac{m_{A'}^2}{2}A'^{\mu}A'_{\mu} - \frac{\epsilon}{2}F^{\mu\nu}F'_{\mu\nu}$$

光子と混合しがち 誘発

$$\mathcal{L}_{\text{int}} \simeq -\epsilon|e|A'_{\mu}j_{\text{em}}^{\mu}$$

■ Axion-like particles (ALPs) なぜか人気の模型 (理由は知らない)

$$\mathcal{L} \supset \frac{1}{2}\partial_{\mu}a\partial^{\mu}a - \frac{1}{2}m_a^2a^2 + \sum_{\ell=e,\mu,\tau} \frac{1}{2} \frac{c_{\text{all}}}{\Lambda} \partial_{\mu}a \bar{\ell} \gamma^{\mu} \gamma_5 \ell - \frac{1}{4}g_{a\gamma\gamma}aF_{\mu\nu}\tilde{F}^{\mu\nu}$$

lepton との相互作用を (勝手に) 仮定 (光子との相互作用も誘発)

■ Extra scalar boson 『もう 1 つぐらい scalar あるやろ (安易) 』

$$\mathcal{L} \supset \frac{1}{2}(\partial_{\mu}S)^2 - \frac{1}{2}m_S^2S^2 - \sum_{\ell=e,\mu,\tau} g_{\ell}S\bar{\ell}\ell - \frac{1}{4}g_{S\gamma\gamma}SF_{\mu\nu}F^{\mu\nu}$$

lepton との相互作用を (勝手に) 仮定 (光子との相互作用も誘発)

今回は新粒子1個だけ，質量と結合強度だけで定まる scenarios で。

vector

■ Dark photon 『もしも U(1) 対称性がもう 1 つあったら.....』

$$\mathcal{L} \supset -\frac{1}{4} F'^{\mu\nu} F'_{\mu\nu} + \frac{m_{A'}^2}{2} A'^{\mu} A'_{\mu} - \frac{\epsilon}{2} F^{\mu\nu} F'_{\mu\nu} \quad \mathcal{L}_{\text{int}} \simeq -\epsilon |e| A'_{\mu} j_{\text{em}}^{\mu}$$

光子と混合しがち 誘発

奇-CP scalar

■ Axion-like particles (ALPs) なぜか人気の模型 (理由は知らない)

$$\mathcal{L} \supset \frac{1}{2} \partial_{\mu} a \partial^{\mu} a - \frac{1}{2} m_a^2 a^2 + \sum_{\ell=e,\mu,\tau} \frac{1}{2} \frac{c_{\text{all}}}{\Lambda} \partial_{\mu} a \bar{\ell} \gamma^{\mu} \gamma_5 \ell - \frac{1}{4} g_{a\gamma\gamma} a F_{\mu\nu} \tilde{F}^{\mu\nu}$$

lepton との相互作用を (勝手に) 仮定 (光子との相互作用も誘発)

偶 CP scalar

■ Extra scalar boson 『もう 1 つぐらい scalar あるやろ (安易) 』

$$\mathcal{L} \supset \frac{1}{2} (\partial_{\mu} S)^2 - \frac{1}{2} m_S^2 S^2 - \sum_{\ell=e,\mu,\tau} g_{\ell} S \bar{\ell} \ell - \frac{1}{4} g_{S\gamma\gamma} S F_{\mu\nu} F^{\mu\nu}$$

lepton との相互作用を (勝手に) 仮定 (光子との相互作用も誘発)

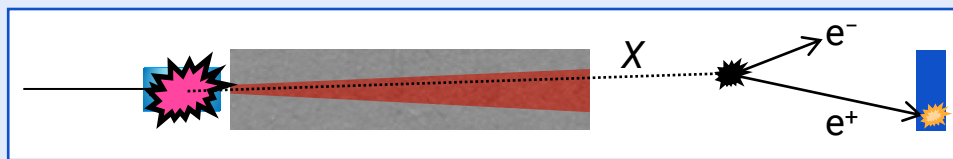
今回は新粒子1個だけ, 質量と結合強度だけで定まる scenarios で。

■ Dark photon 『もしも U(1) 対称性がもう1つあったら.....』

$$\mathcal{L} \supset -\frac{1}{4} F'^{\mu\nu} F'_{\mu\nu} + \frac{m_{A'}^2}{2} A'^2$$

3 模型とも

- Higgs 機構が起きたあとの表式 (有効理論)。
- 新粒子は主に e^-e^+ に崩壊 (=検出は容易)。



lepton との相互作用を (勝手に) 仮定 (光子との相互作用も誘発)

■ Extra scalar boson

$$\mathcal{L} \supset \frac{1}{2} (\partial_\mu S)^2 - \frac{1}{2} m_S^2 S^2$$

➤ あまり美しい模型ではない。 (主観)

* Quark との結合を入れると, flavor violation 系の制限 (中間子崩壊) が出てくるので議論が大変。

Cf. Bauer, Neubert, Renner, Schnubel, Thamm [2110.10698]

lepton との相互作用を (勝手に) 仮定 (光子との相互作用も誘発)

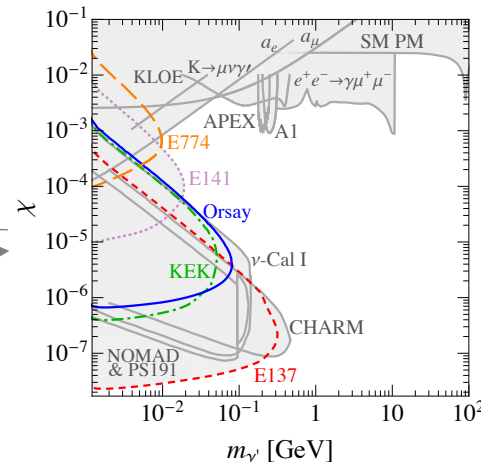
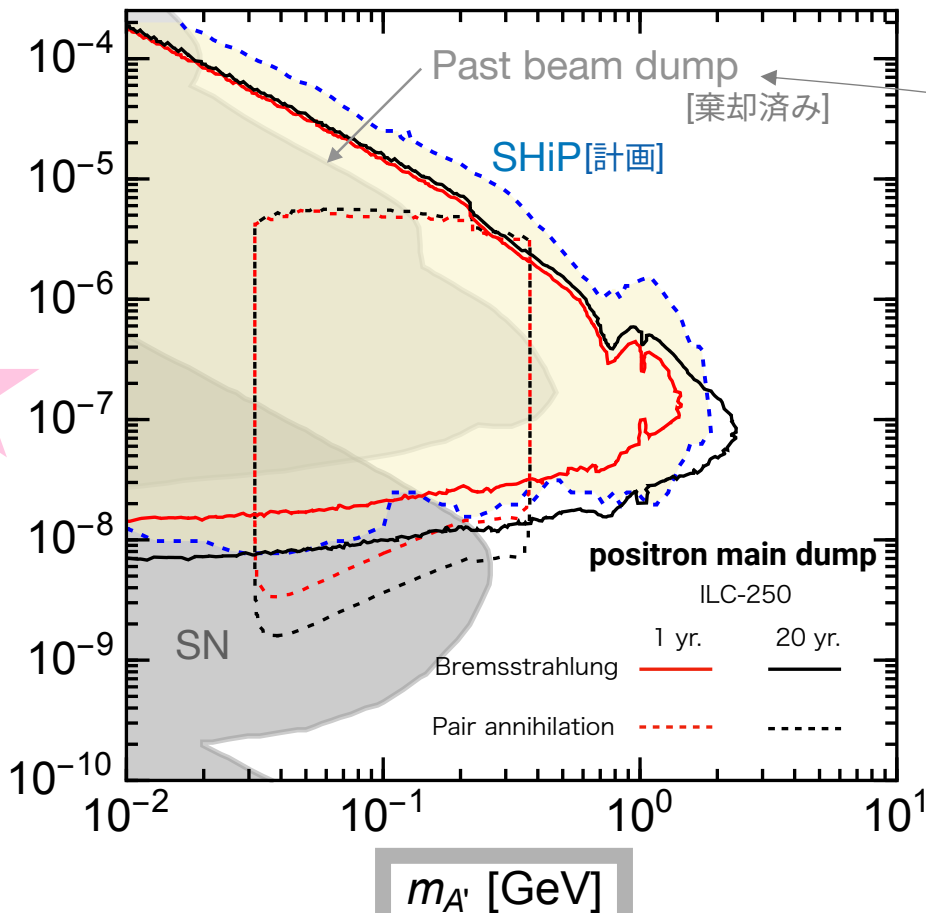
Dark photon

『もしも U(1) 対称性がもう 1 つあったら.....』

$$\mathcal{L} \supset -\frac{1}{4} F'^{\mu\nu} F'_{\mu\nu} + \frac{m_{A'}^2}{2} A'^{\mu} A'_{\mu} - \frac{\epsilon}{2} F^{\mu\nu} F'_{\mu\nu}$$

$$\mathcal{L}_{\text{int}} \simeq -\epsilon |e| A'_{\mu} j_{\text{em}}^{\mu}$$

含しがち 誘発



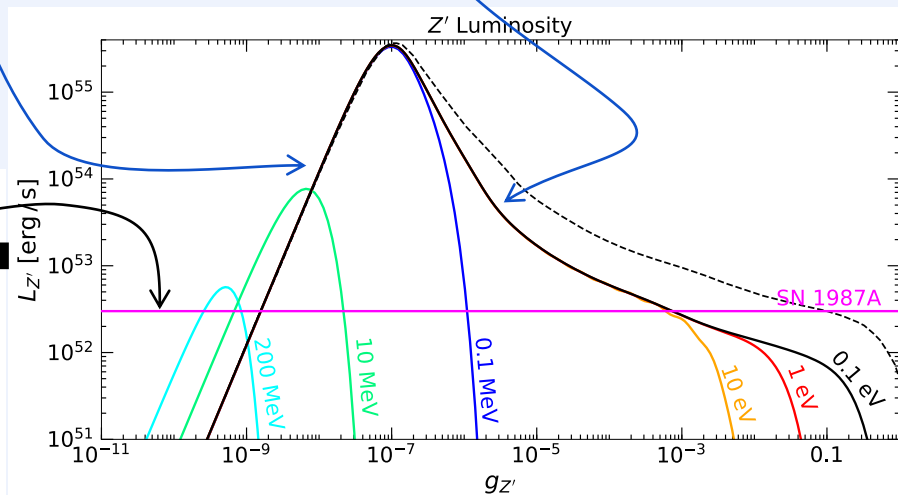
| | | | | | |
|---------------|-----------------|-----------------------------------|----------|-----------------------|-------|
| E774 | 1991, FNAL | e ⁻ , | 275 GeV, | 10 ¹⁰ 個, | 2 m |
| E141 | 1987, SLAC | e ⁻ | 9 GeV, | 10 ¹⁵ 個, | 40 m |
| Orsay | 1989, Orsay | e ⁻ , | 1.6 GeV, | 10 ¹⁶ 個, | 3 m |
| KEK LBDX | 1986, KEK | e ⁻ , | 2.5 GeV, | 10 ¹⁷ 個, | 5 m |
| CHARM II | 1991, CERN | p, | 450 GeV, | 10 ¹⁹ 個, | 870 m |
| E137 | 1988, SLAC | e ⁻ , | 20 GeV, | 10 ²⁰ 個, | 400 m |
| ILC beam dump | ????, Iwate | e ⁻ / e ⁺ , | 125 GeV, | 10 ²¹ 個/年, | 120 m |
| SHiP | LHC Run 4, CERN | p, | 400 GeV, | 10 ¹⁹ 個/年, | 120 m |

SN: 1987A の爆発 energy を DP [存在すれば] が持ち逃げするから観測結果と矛盾する)
 Past beam dump: 参考文献 Andreas, Niebuhr, Ringwald [1209.6083] (中段右図)

結合が小さすぎると Z' は生成されない

結合が大きすぎると Z' はSN に再捕獲される

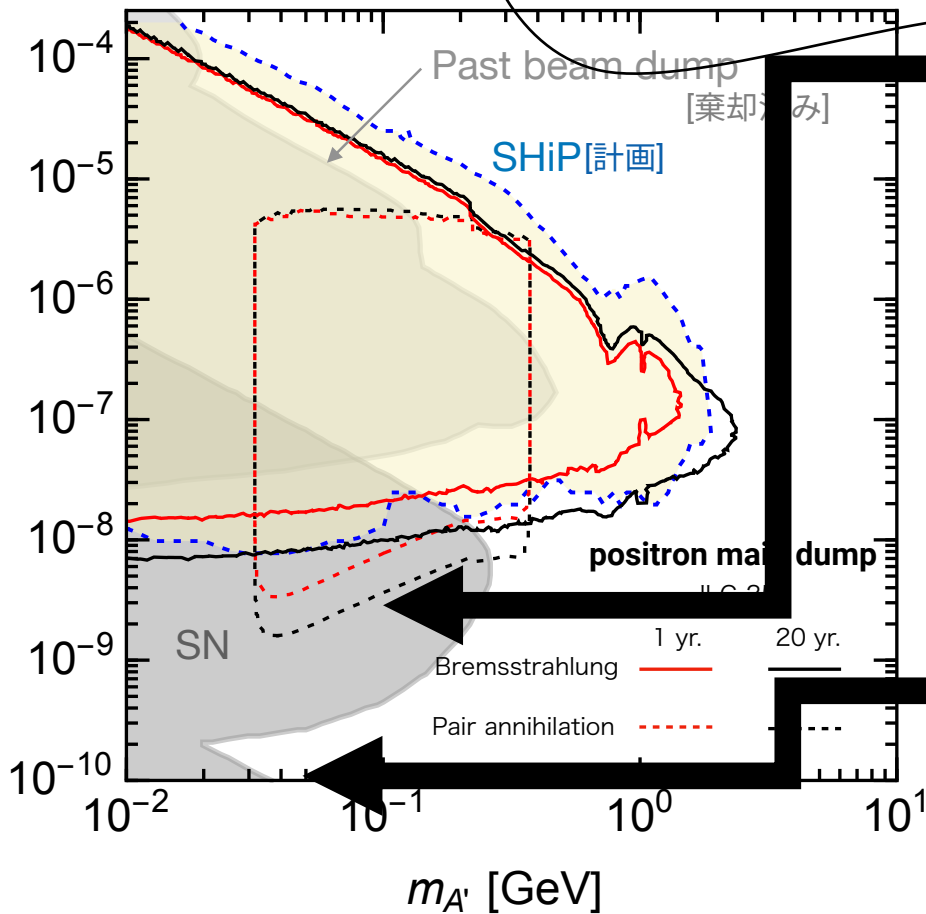
縦軸は SN1987A から Z' が持ち逃げする energy。
 3×10^{52} erg/s ("Raffelt criterion" と呼ばれる) とか
 10^{53} erg/s とか以上だとマズカろう, という議論がある。



Croon, Elor, Leane, McDermott [2006.13942]
 (ただしこれは $L_\mu-L_\tau$ gauge boson の plot)

SN1987A 内で出来た Z' が, SN から脱出したあとに γ に崩壊すると, その γ が地球上で観測されることになり, SN1987A の観測と矛盾する。

cf. DeRocco, Graham, Kasen, MarquesTavares, Rajendran [1901.08596]



1. 導入

- ✓ ILC beam dump での固定標的散乱実験。
- ✓ 固定標的実験の特性。「やや長寿命な軽い新粒子」。

2. 背後の理論

- ✓ Intensity frontier：眼前に茫漠荒寥たり。
- ✓ よく使われる benchmark 模型：Dark photon, ALP, extra scalar。
- ✓ 過去の全実験よりもよさそう。

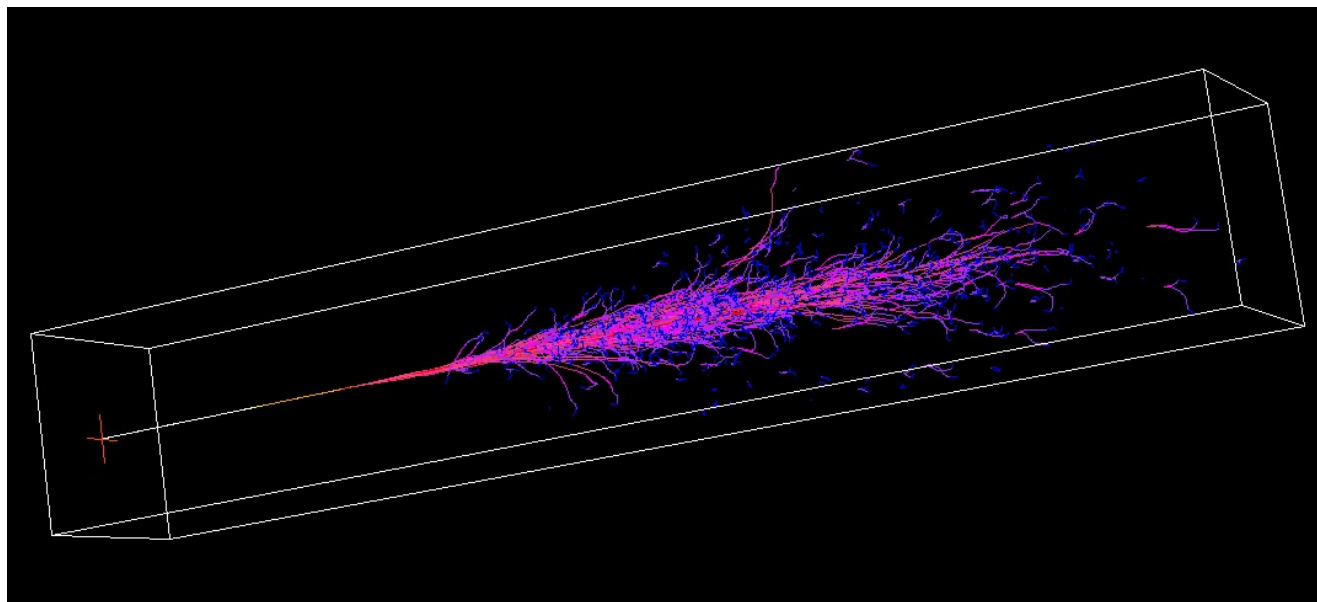
3. ILC beam dump 実験の特性評価

4. さらに詳しく (時間のある限り)

■ e^\pm や γ が物質に入射すると.....

Quiz: Muon では shower は起きない。なぜ？

[cf. 3日目の廣瀬さん講演]



24 GeV e^- on iron, from [the Electromagnetic Shower Simulator](#) by Sven Menke.

参考資料

| | $\langle Z/A \rangle$ | Nucl.coll. length λ_T {g cm ⁻² } | Nucl.inter. length λ_I {g cm ⁻² } | Rad.len. X_0 {g cm ⁻² } | $dE/dx _{min}$ {MeV g ⁻¹ cm ² } | Density {g cm ⁻³ } | Melting point {K} | Boiling point {K} |
|--------------------------|-----------------------|---|--|---|--|----------------------------------|-------------------------|-------------------------|
| Pb | 0.39575 | 114.1 | 199.6 | 6.37 | 1.122 | 11.350 | 600.6 | 2022. |
| Water (H ₂ O) | 0.55509 | 58.5 | 83.3 | 36.08 | 1.992 | 1.000 | 273.1 | 373.1 |

$$E(z) \sim E_0 e^{-\rho z / X_0}$$

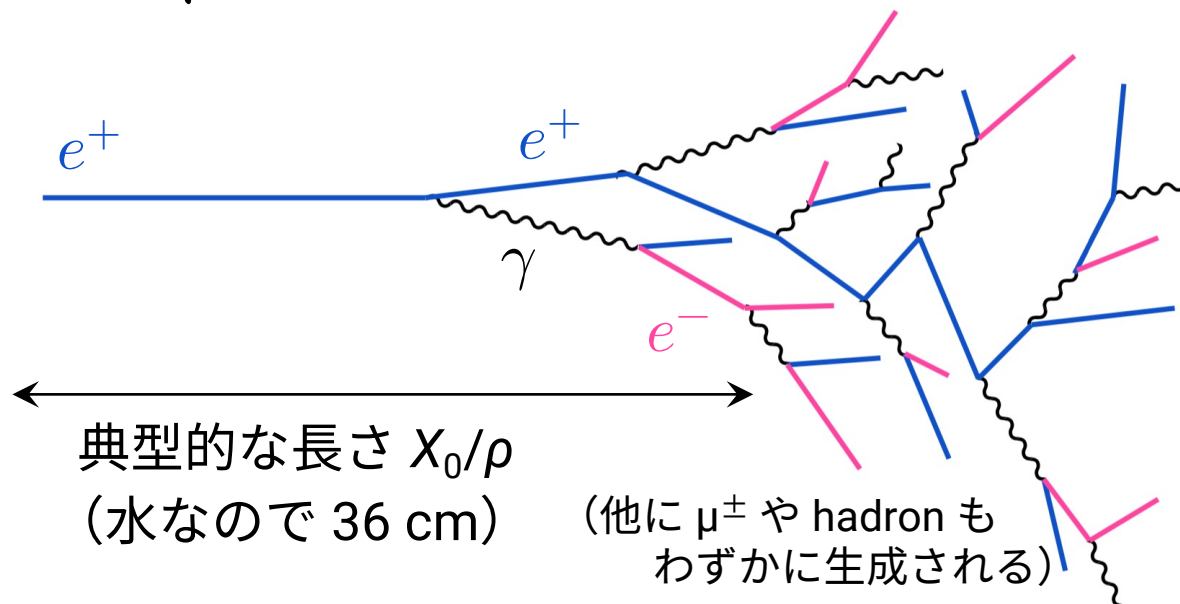
$$X_0 \sim 100 \text{ g/cm}^2 \frac{A}{Z^2}$$

[PDG2022 §6, §34] **23** / 43

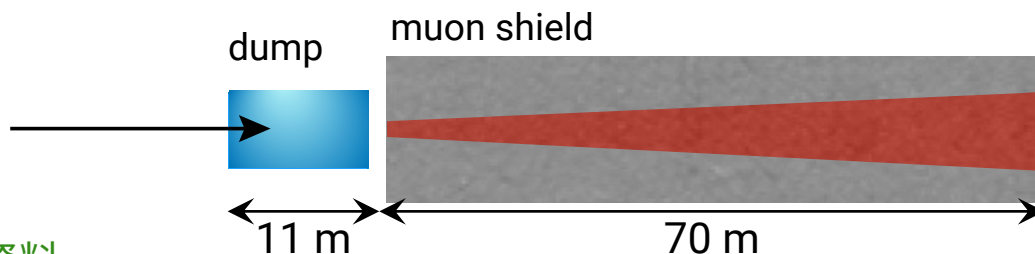
■ e^\pm や γ が物質に入射すると.....

Quiz: Muon では shower は起きない。なぜ？

[cf. 3日目の廣瀬さん講演]



radiation length
 X_0 : 物質の輻射長
 ρ : 物質の密度



Shower より遙かに厚い：

"厚い固定標的実験"

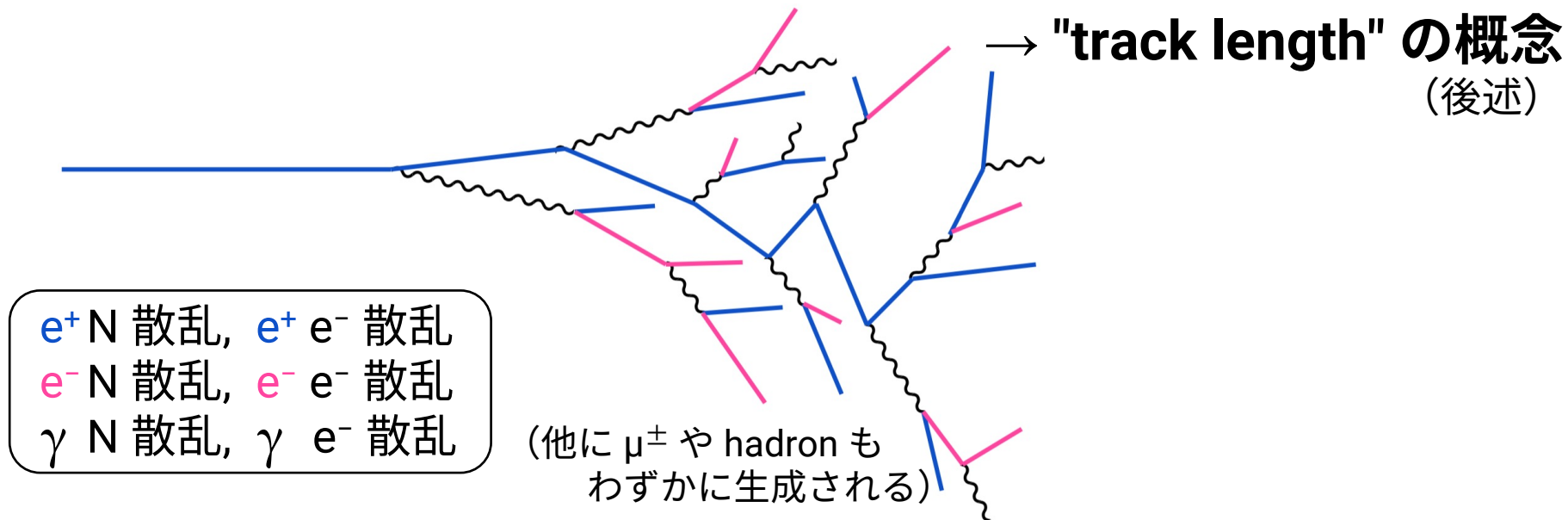
参考資料

| | $\langle Z/A \rangle$ | Nucl.coll. length λ_T {g cm ⁻² } | Nucl.inter. length λ_I {g cm ⁻² } | Rad.len. X_0 {g cm ⁻² } | $dE/dx _{min}$ {MeV g ⁻¹ cm ² } | Density {g cm ⁻³ } | Melting point {K} | Boiling point {K} |
|--------------------------|-----------------------|---|--|---|--|----------------------------------|-------------------------|-------------------------|
| Pb | 0.39575 | 114.1 | 199.6 | 6.37 | 1.122 | 11.350 | 600.6 | 2022. |
| Water (H ₂ O) | 0.55509 | 58.5 | 83.3 | 36.08 | 1.992 | 1.000 | 273.1 | 373.1 |

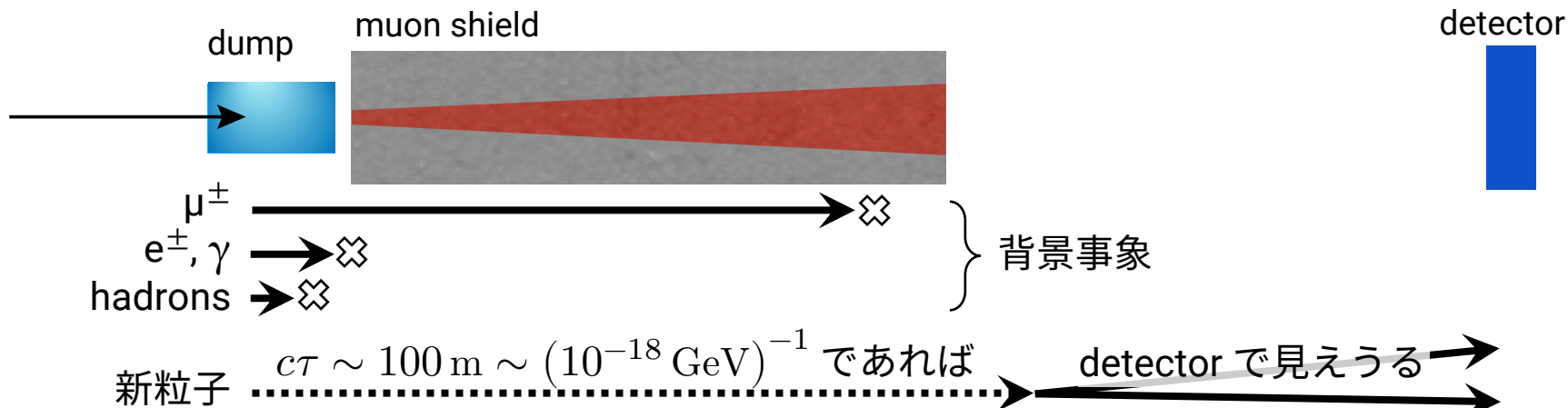
$$E(z) \sim E_0 e^{-\rho z / X_0}$$

$$X_0 \sim 100 \text{ g/cm}^2 \frac{A}{Z^2}$$

■ 『beam と固定標的』ではなく 『shower と固定標的』の散乱



■ 遮蔽を通過する長寿命粒子のみ探索可能 = 背景事象は僅か



- 目標：新粒子があった場合に検出器で何 event 検出できる？

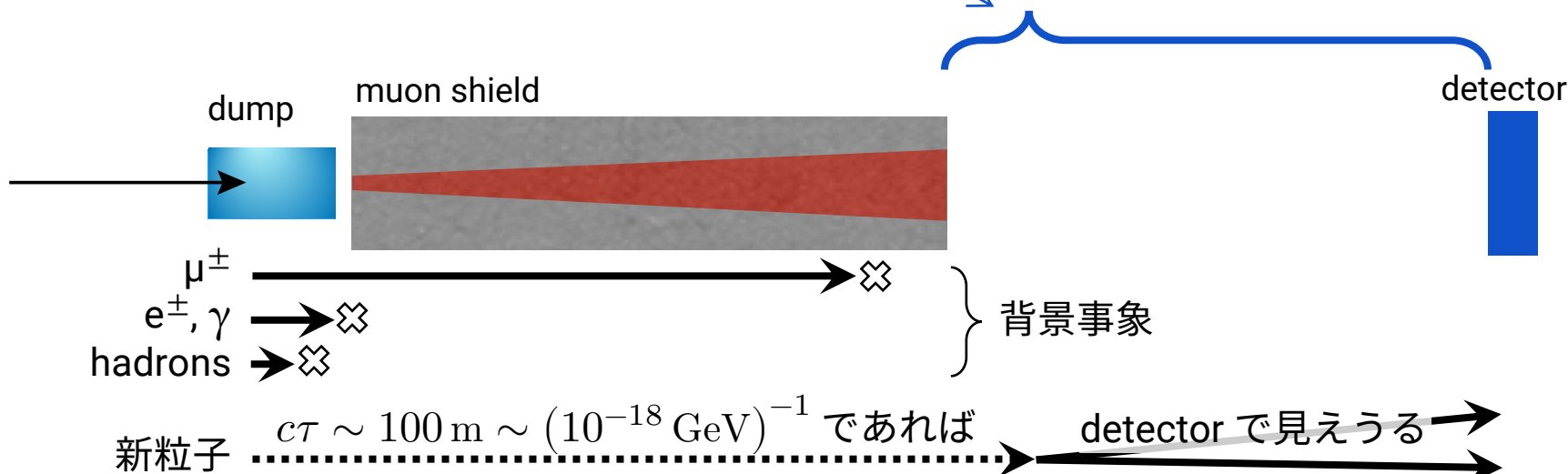
$$N_{\text{signal}} = N_{\text{production}} \times \text{Acc} \times \mathcal{E}$$

新粒子の生成数
受容率
検出器の効率

||

今回は
 $\mathcal{E} = 1$

新粒子が ①この範囲で ②検出可能粒子に崩壊し、
さらにその粒子 (のどれか) が ③検出器の外にそれない 確率



■ 受容率 Acc を計算する

- Monte Carlo simulation をやりたかったが、労力が無駄にかかりそうだったので
- えいやで計算

新粒子が ①この範囲で ②検出可能粒子に 崩壊し、
さらにその粒子（のどれか）が ③検出器の外にそれない 確率

$$\text{Acc}(X) = \int_0^{l_{\text{dec}}} dz \frac{dP_{\text{dec}}}{dz} \cdot \Theta(r_{\text{det}} - r_{\perp})$$

①崩壊位置条件 ③角度条件

(②は今回のモデルでは 100%)

$$\frac{dP_{\text{dec}}}{dz} = \frac{1}{l_X^{(\text{lab})}} \exp\left(-\frac{l_{\text{dump}} + l_{\text{sh}} + z}{l_X^{(\text{lab})}}\right) \quad (\text{位置 } z \text{ での崩壊率}) \quad l_X^{(\text{lab})} = \frac{p_X}{m_X} \frac{1}{\Gamma_X} \quad (\text{新粒子の飛程})$$

$$r_{\perp} = \sqrt{\theta_1^2(l_{\text{dump}} + l_{\text{sh}} + l_{\text{dec}})^2 + \theta_2^2(l_{\text{dump}} + l_{\text{sh}} + l_{\text{dec}})^2 + \theta_3^2(l_{\text{dec}} - z)^2} \quad (\text{横ずれ距離})$$

■ 新粒子の生成数 $N_{\text{production}}$ を計算する

基本公式

$$\frac{N}{VT} = n_1 n_2 \sigma v$$

単位時空あたりの事象数
= お互いの数密度 $\times \sigma v$

Quiz: 式変形

固定標的用

$$N = N_{\text{inject}} n_{\text{target}} L \sigma$$

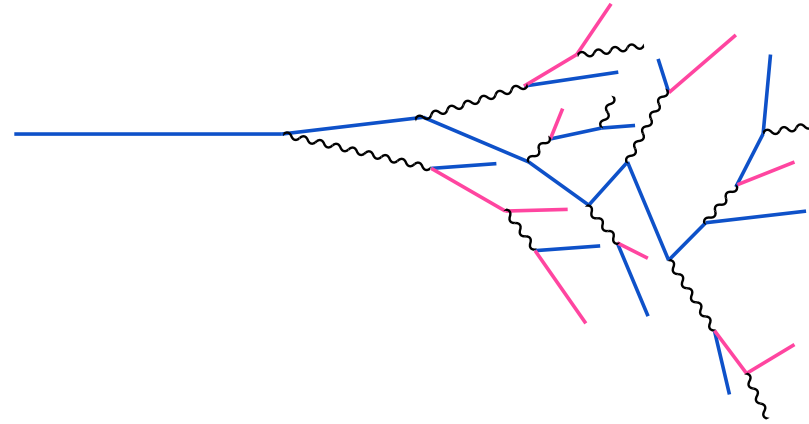
$$N_{\text{inject}} = 4 \times 10^{21} \text{ 個/年} \quad (\text{設計値})$$

$$n_{\text{target}} = \text{水の [核子 | 電子] 数密度} \quad (\text{知ってる})$$

$$\sigma = \text{散乱断面積} \quad (\text{理論計算できる})$$

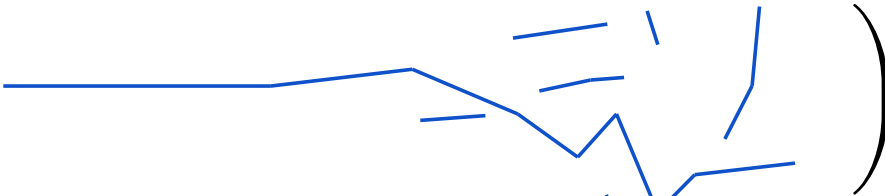
$$L = \text{散乱の生じる長さ} \rightarrow \text{次頁}$$

■ $L =$ 「散乱の生じる長さ」



■ $L =$ 「散乱の生じる長さ」

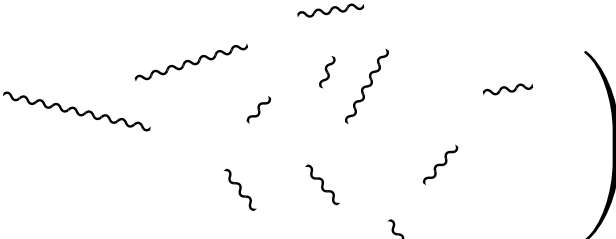
$e^+ N$ 散乱, $e^+ e^-$ 散乱: $\Sigma \left(\text{Diagram 1} \right)$



$e^- N$ 散乱, $e^- e^-$ 散乱: $\Sigma \left(\text{Diagram 2} \right)$

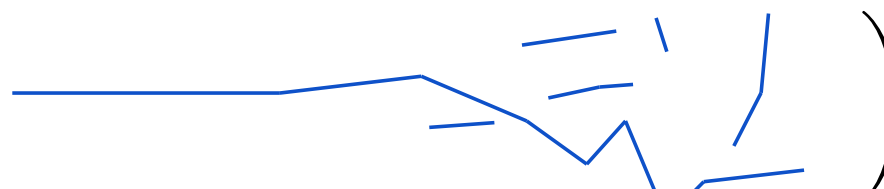


γN 散乱, γe^- 散乱: $\Sigma \left(\text{Diagram 3} \right)$



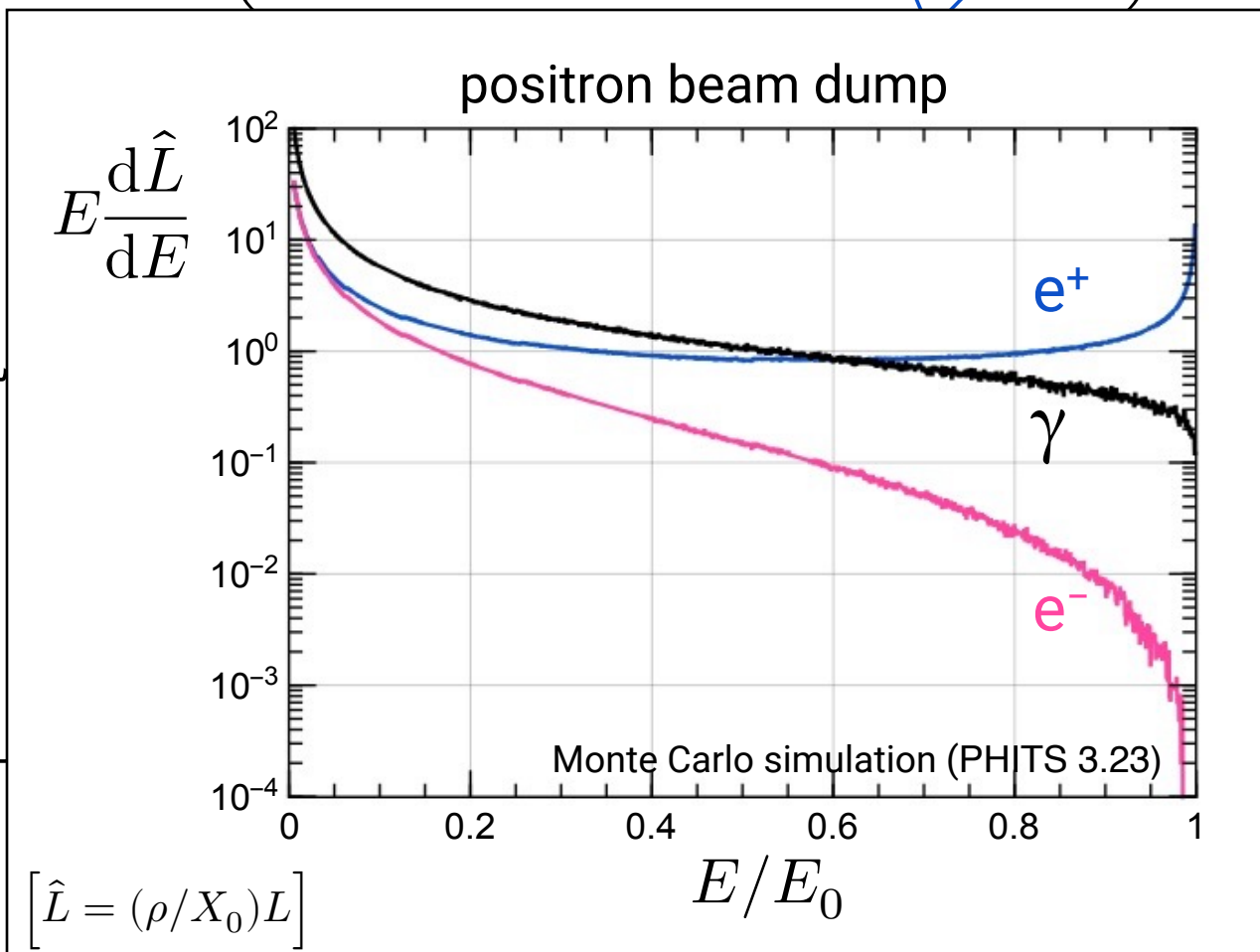
■ $L =$ 「散乱の生じる長さ」

$e^+ N$ 散乱, $e^+ e^-$ 散乱: $\Sigma \left(\text{---} \right)$



$e^- N$ 散乱, $e^- e^-$ 散乱

γN 散乱, γe^- 散乱



生成数の計算 (Dark photon 模型を例として)

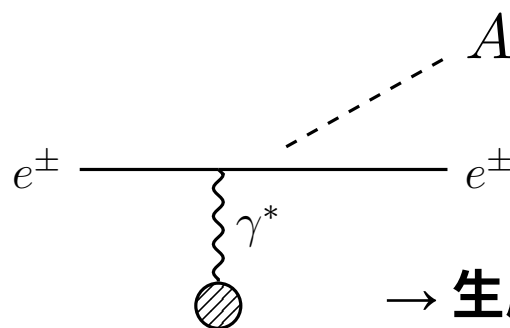
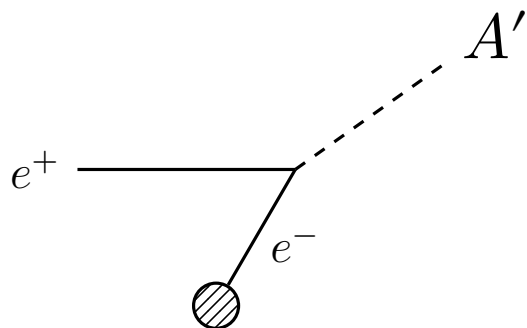
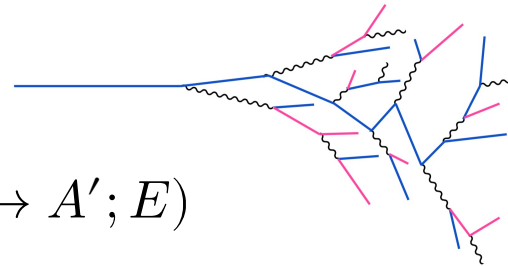
$$N = N_{\text{inject}} n_{\text{target}} L \sigma \quad (\times \text{Acc})$$

$$N(e^+_{\text{shower}} e^- \rightarrow A') = N_{\text{inject}} n_{e^-} \cdot \int dE \frac{dL_{e^+}}{dE} \sigma(e^+ e^- \rightarrow A'; E)$$

$$N(e^+_{\text{shower}} N \rightarrow \gamma N A') = N_{\text{inject}} n_N \cdot \int dE \frac{dL_{e^+}}{dE} \sigma(e^+ N \rightarrow e^+ N A'; E)$$

$$N(e^-_{\text{shower}} N \rightarrow \gamma N A') = N_{\text{inject}} n_N \cdot \int dE \frac{dL_{e^-}}{dE} \sigma(e^- N \rightarrow e^- N A'; E)$$

(\times Acc)

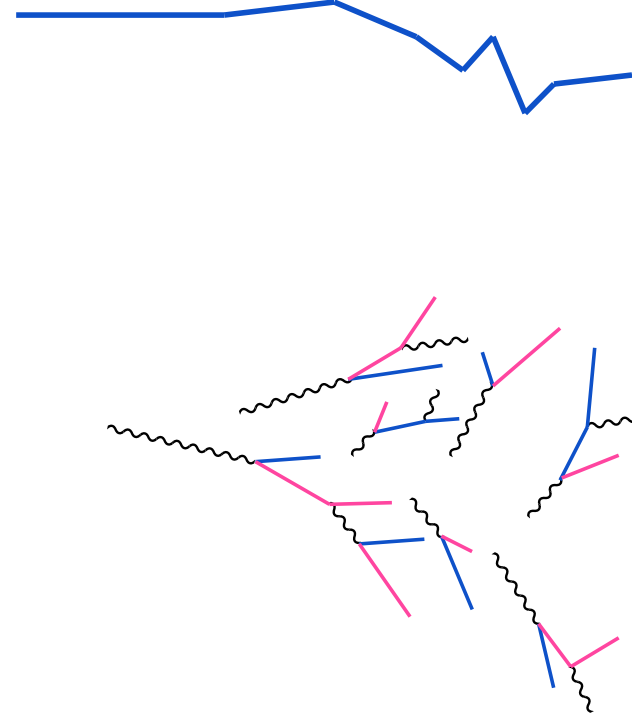
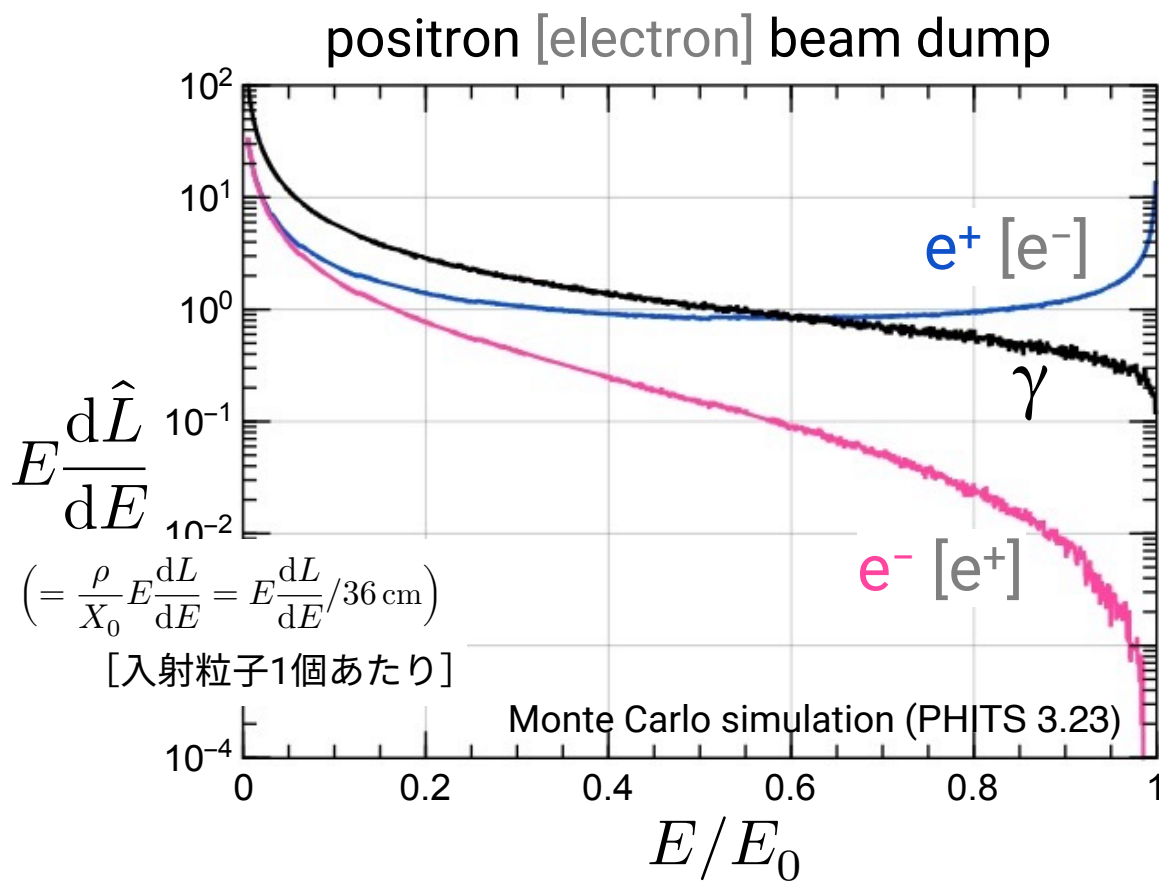


→ 生成数と検出効率がわかったので
検出できる event 数もわかる。

注意

* Acc は shower 粒子の角度 θ にも依存する (つまりホントは $\frac{d^2L}{dE d\theta}$ が要る) が、この研究では MC で求めた平均値で近似した:

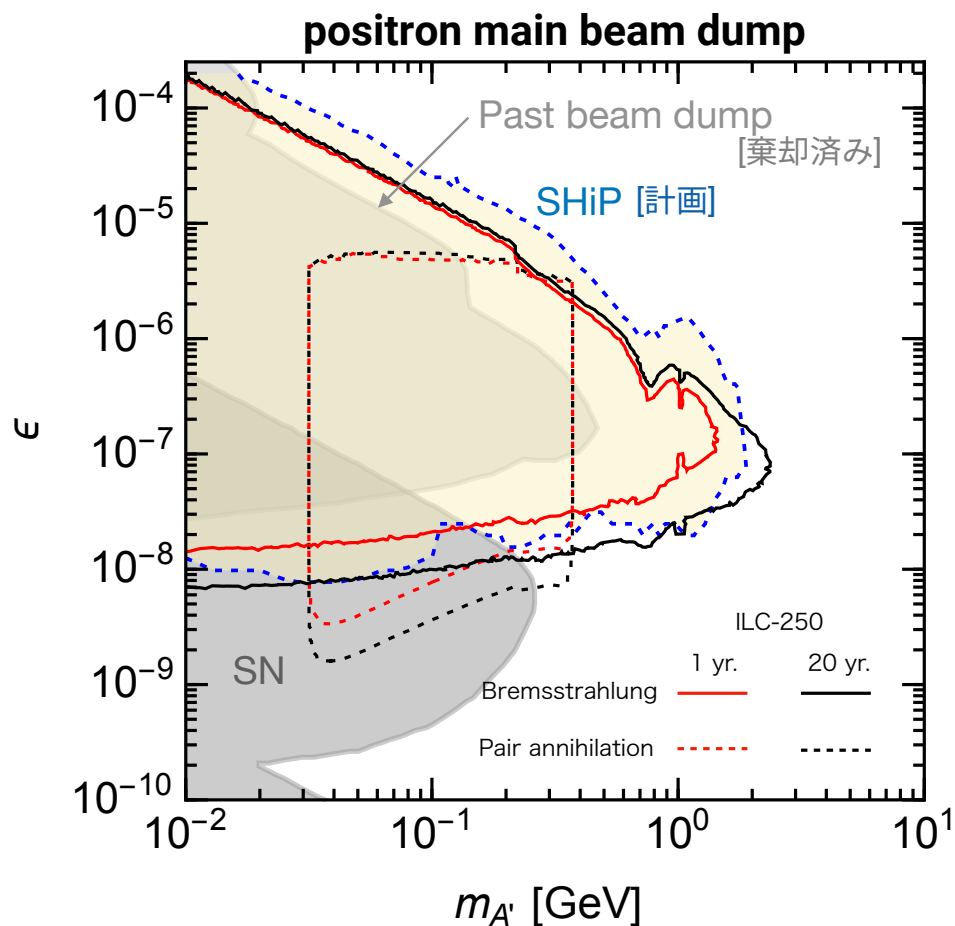
$$\theta \approx \begin{cases} 16 \text{ mrad GeV}/E_{e^\pm} & (e^+, e^-), \\ 8 \text{ mrad GeV}/E_\gamma & (\text{photons}) \end{cases}$$



- Beam 種 (e^- or e^+) に依る寄与と依らない寄与がある。
- 有効長のほとんどは低 energy 側 (主に γ) 。
- 低 energy 側では e^\pm は等しくなる。
- 高 energy 側では beam 粒子が主 (端では峰状) だが, γ もかなり多い。

■ (BKG が無いと近似すれば) $N_{\text{signal}} > 3$ の領域は棄却可能。

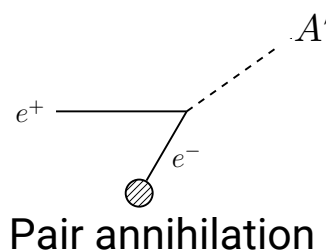
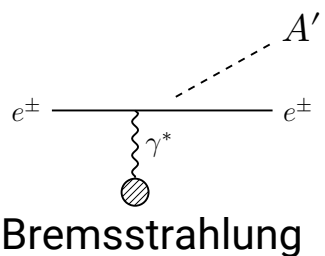
Quiz: どういうこと?



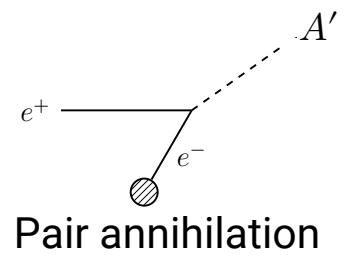
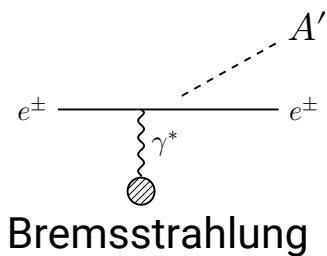
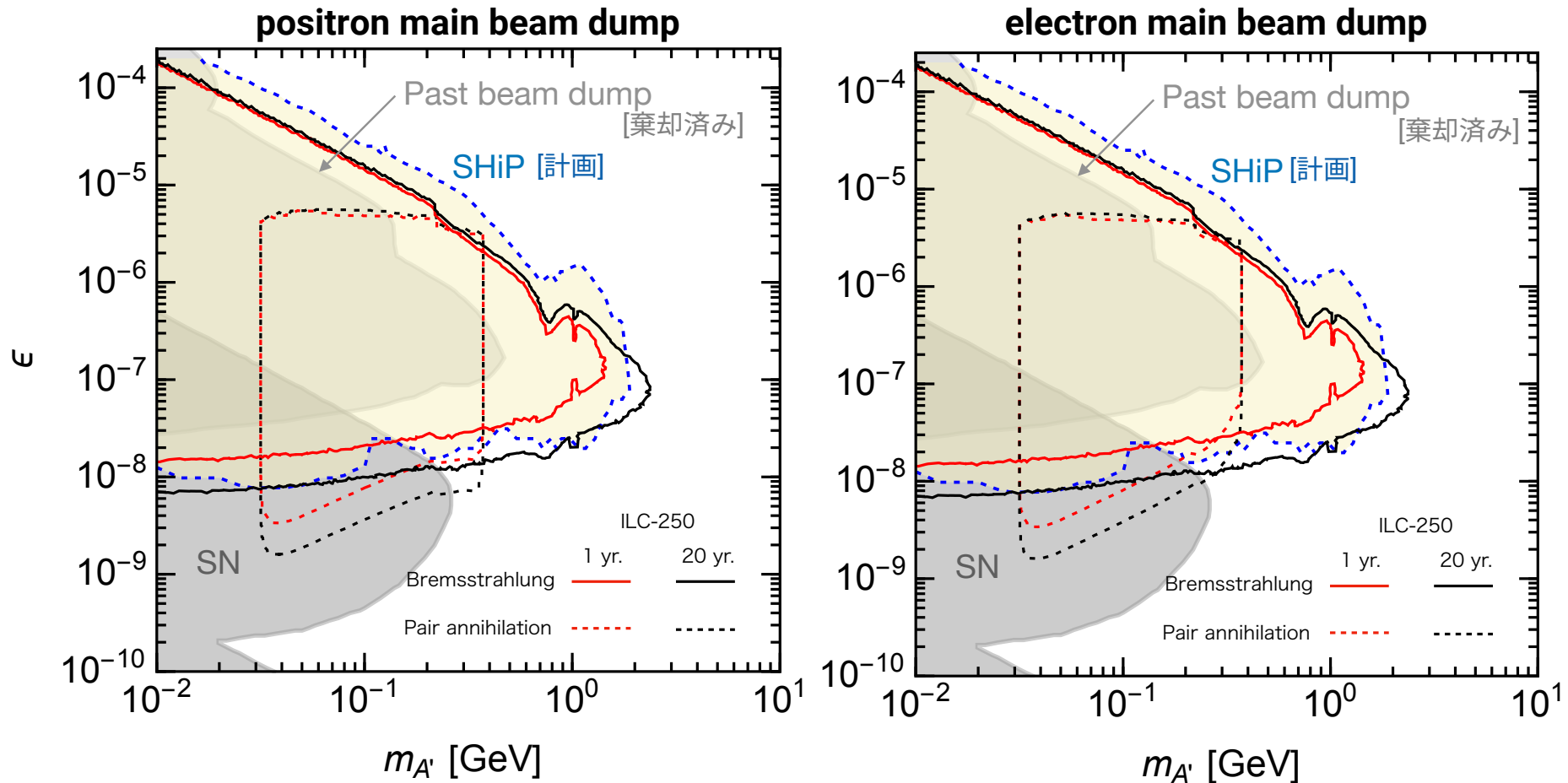
← Dark photon 模型

$$\mathcal{L} \supset -\frac{1}{4} F'^{\mu\nu} F'_{\mu\nu} + \frac{m_{A'}^2}{2} A'^{\mu} A'_{\mu} - \frac{\epsilon}{2} F^{\mu\nu} F'_{\mu\nu}$$

$$\mathcal{L}_{\text{int}} \simeq -\epsilon |e| A'_{\mu} j_{\text{em}}^{\mu}$$

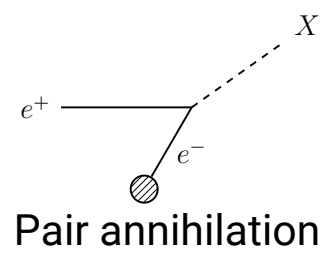
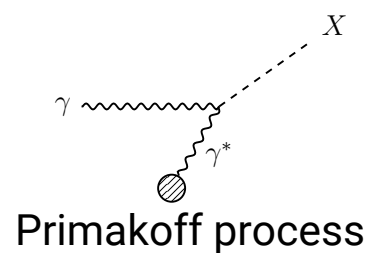
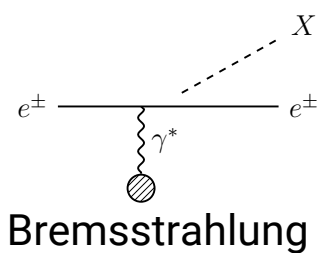
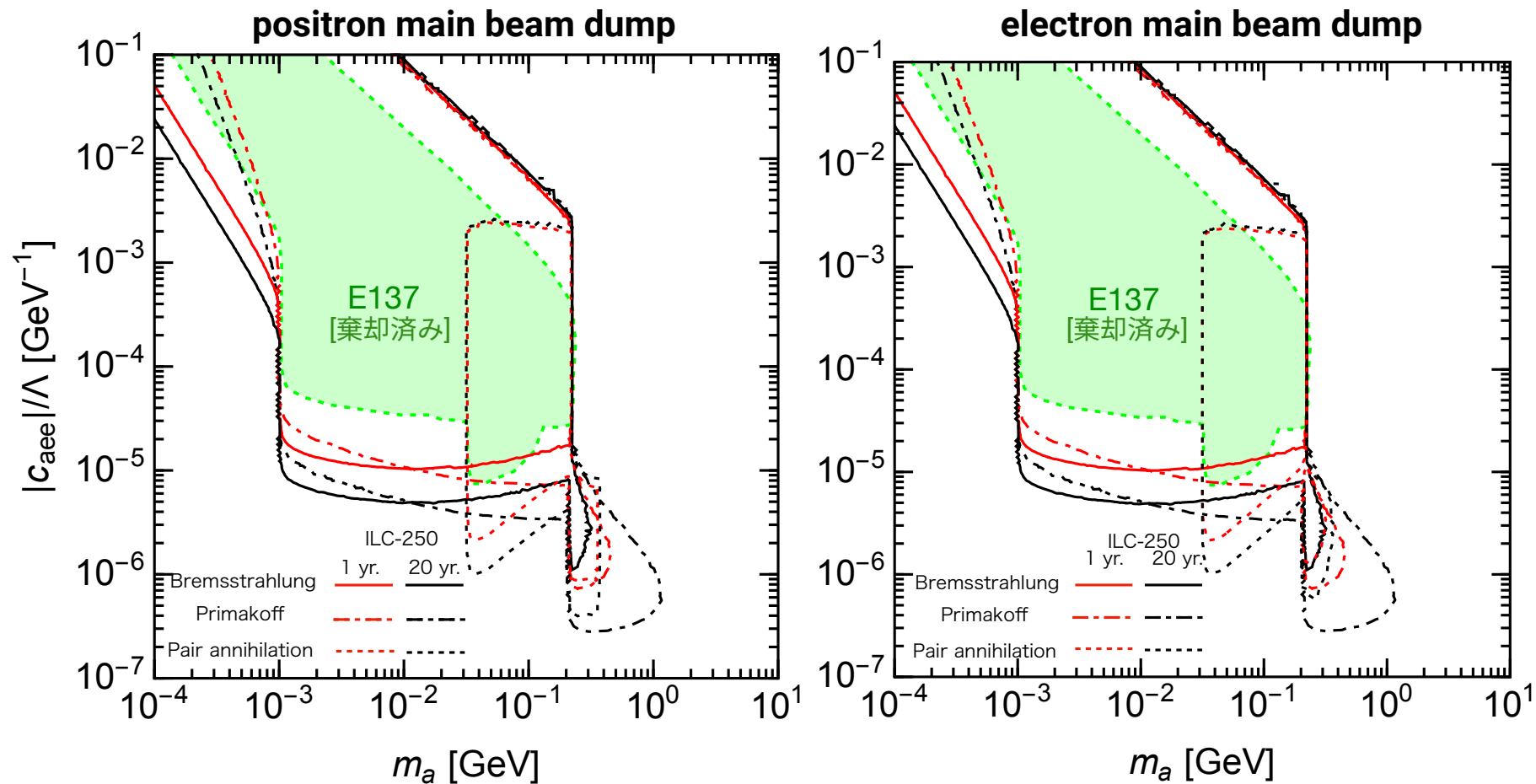


■ 2つの beam dump, どっちが良い？



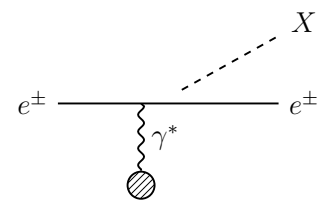
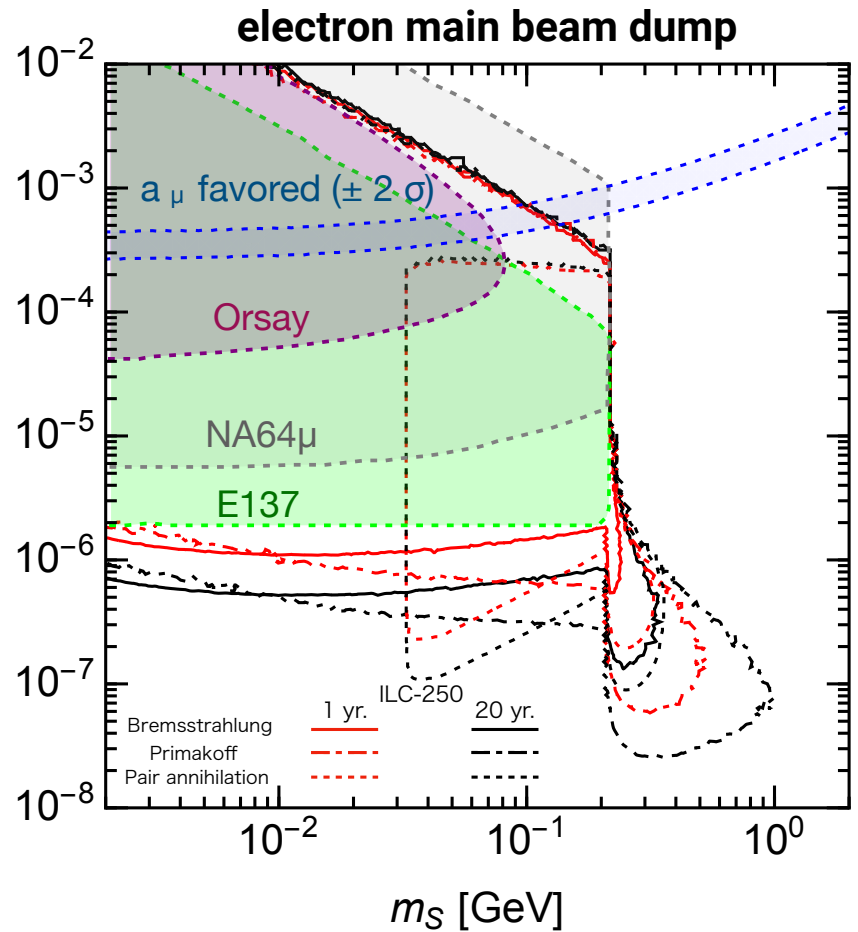
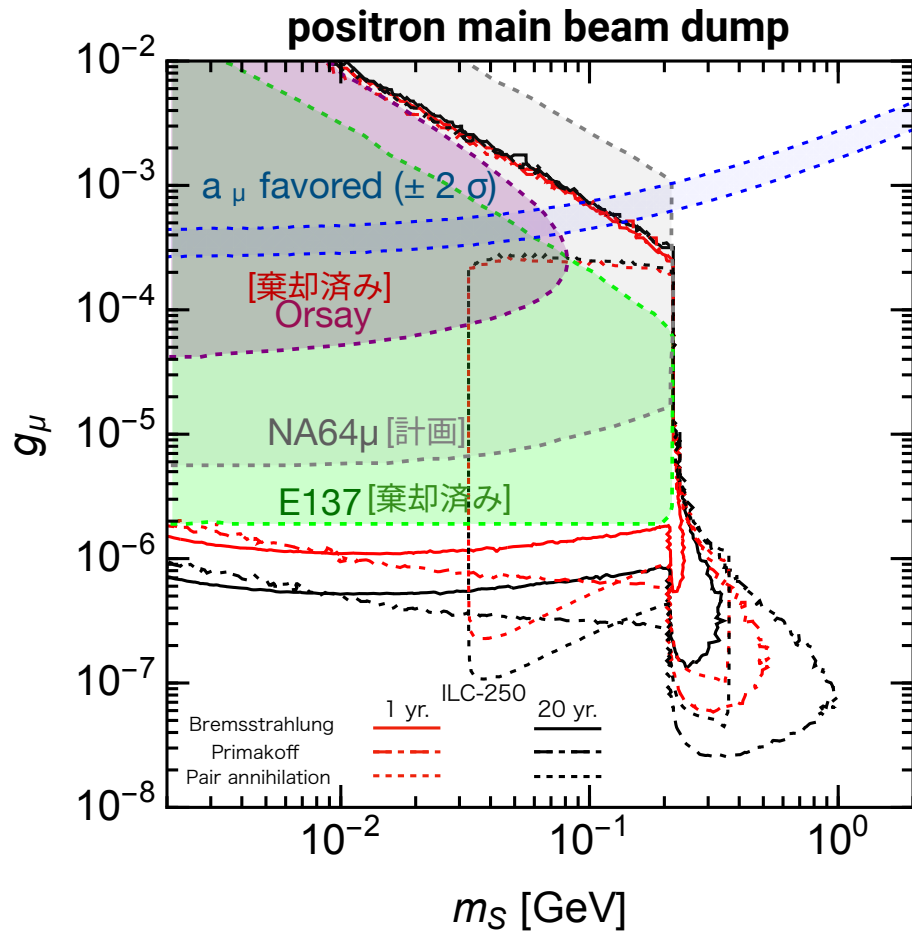
一応、他の模型の解析も..... (Axion-like particle 模型)

$$\mathcal{L} \supset \frac{1}{2} \partial_\mu a \partial^\mu a - \frac{1}{2} m_a^2 a^2 + \sum_{\ell=e,\mu,\tau} \frac{1}{2} \frac{c_{a\ell\ell}}{\Lambda} \partial_\mu a \bar{\ell} \gamma^\mu \gamma_5 \ell - \frac{1}{4} g_{a\gamma\gamma} a F_{\mu\nu} \tilde{F}^{\mu\nu}, \quad c_{aee} = c_{a\mu\mu} = c_{a\tau\tau}$$

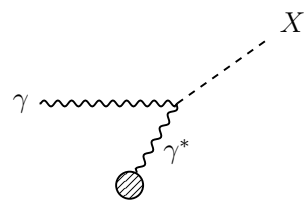


一応、他の模型の解析も.....。 (extra scalar 模型, 質量に比例する結合)

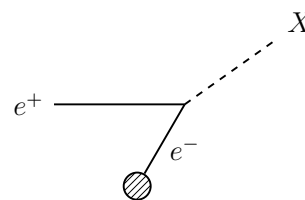
$$\mathcal{L} \supset \frac{1}{2}(\partial_\mu S)^2 - \frac{1}{2}m_S^2 S^2 - \sum_{\ell=e,\mu,\tau} g_\ell S \bar{\ell} \ell - \frac{1}{4}g_{S\gamma\gamma} S F_{\mu\nu} F^{\mu\nu}, \quad g_\ell \propto m_\ell$$



Bremsstrahlung



Primakoff process



Pair annihilation

1. 導入

- ✓ ILC beam dump での固定標的散乱実験。
- ✓ 固定標的実験の特性。「やや長寿命な軽い新粒子」。

2. 背後の理論

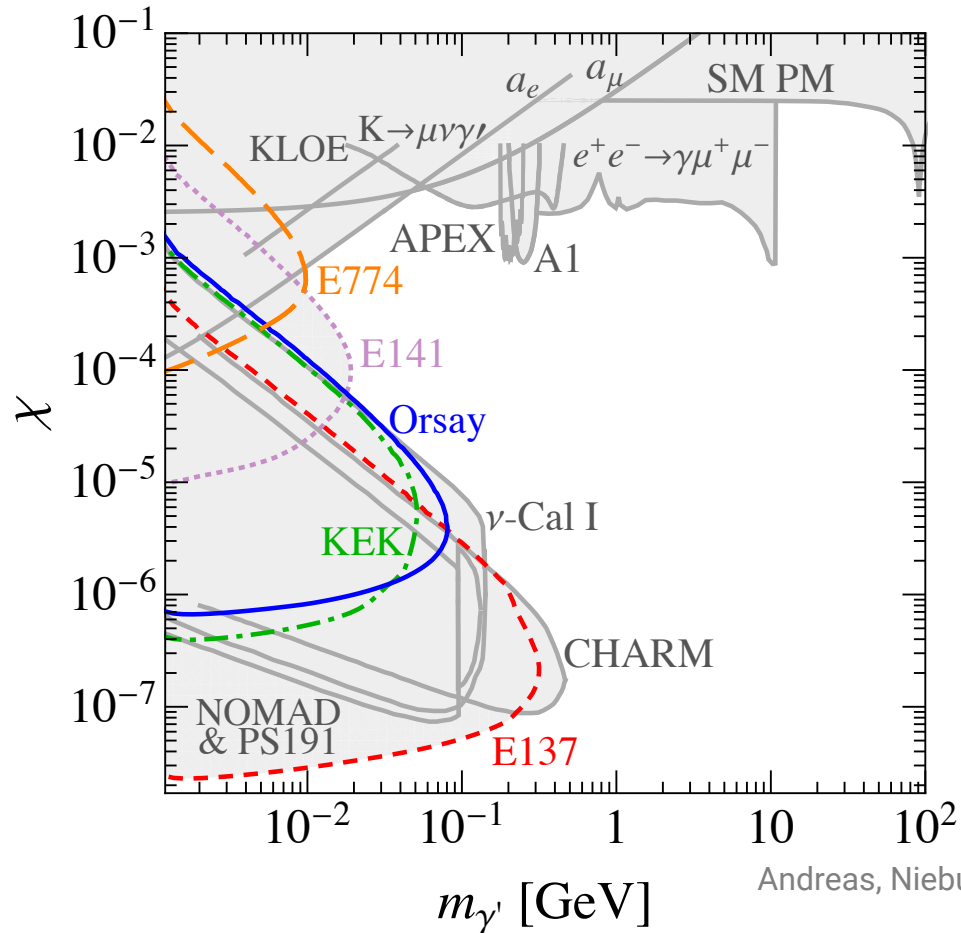
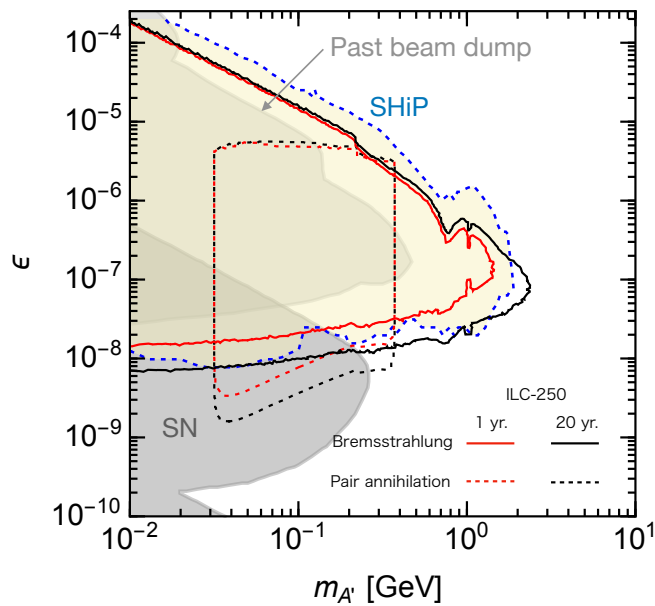
- ✓ Intensity frontier：眼前に茫漠荒寥たり。
- ✓ よく使われる benchmark 模型：Dark photon, ALP, extra scalar。

3. ILC beam dump 実験の特性評価

- ✓ 過去の実験より高性能。
- ✓ 陽電子側の beam dump を使う方が若干良い。（track length の性質のため）

4. さらに詳しく （時間のある限り）

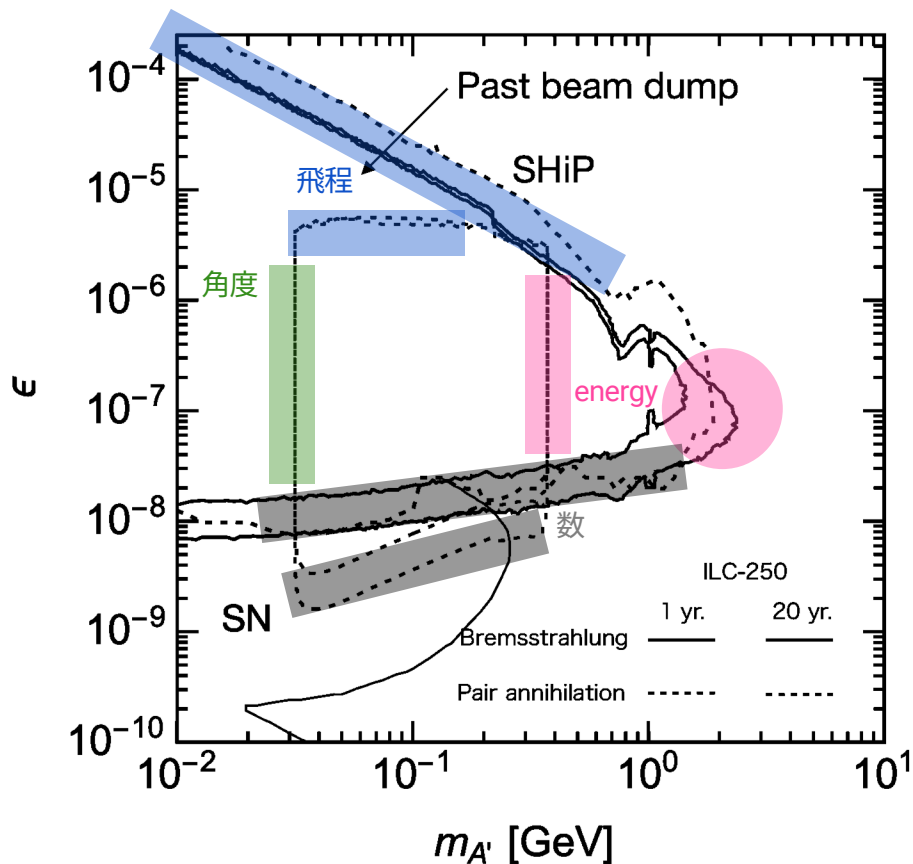
- 感度曲線の形状について，WW 近似，改善できる点



Andreas, Niebuhr, Ringwald [1209.6083]

| | | | | | |
|---------------|-------------|---------------|----------|----------------|-------|
| E774 | 1991, FNAL | e^- , | 275 GeV, | 10^{10} 個, | 2 m |
| E141 | 1987, SLAC | e^- | 9 GeV, | 10^{15} 個, | 40 m |
| Orsay | 1989, Orsay | e^- , | 1.6 GeV, | 10^{16} 個, | 3 m |
| KEK LBDX | 1986, KEK | e^- , | 2.5 GeV, | 10^{17} 個, | 5 m |
| CHARM II | 1991, CERN | p, | 450 GeV, | 10^{19} 個, | 870 m |
| E137 | 1988, SLAC | e^- , | 20 GeV, | 10^{20} 個, | 400 m |
| ILC beam dump | ????, Iwate | e^- / e^+ , | 125 GeV, | 10^{21} 個/年, | 120 m |

感度曲線の物理的解釈



Energy の限界

$$\sqrt{s} \sim m_{A'} < \sqrt{2mE_{\text{beam}}} \approx (360 \text{ MeV}, 15 \text{ GeV})$$

飛程の下限

$$\text{flight} = \frac{p_{A'}}{m_{A'}\Gamma} \gtrsim 70 \text{ m}; \quad \Gamma \approx \frac{\alpha\epsilon^2 m_{A'}}{3}$$

• Pair-annihilation の場合

$$p_{A'} \sim E_{e^+}^{\text{shower}} \sim \frac{m_{A'}^2}{2m_e} \longrightarrow \epsilon \lesssim 10^{-6}$$

• Bremsstrahlung の場合

$$p_{A'} \sim \mathcal{O}(\text{GeV}) \longrightarrow \epsilon m_{A'} \lesssim 10^{-7} \text{ GeV}$$

低 energy の shower 粒子は散らばりがち → 角度条件に引っかかる

$$\bullet r_{\text{perp}} < r_{\text{det}} \iff \theta \lesssim (2 \text{ m}) / (120 \text{ m}) = 1/60$$

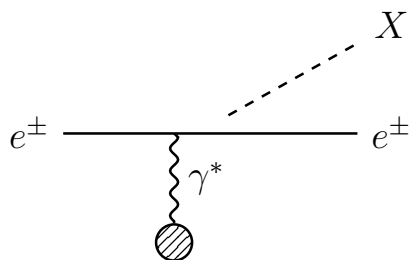
(角度条件が実質的に low-energy threshold になっている)

$$\bullet \text{our approx. } \theta^{-1} \approx (E_{e^\pm} / \text{GeV}) / 0.008 \implies E_{e^\pm} \gtrsim 0.5 \text{ GeV} \implies \sqrt{2m_e E_{e^\pm}} \approx 23 \text{ MeV}$$

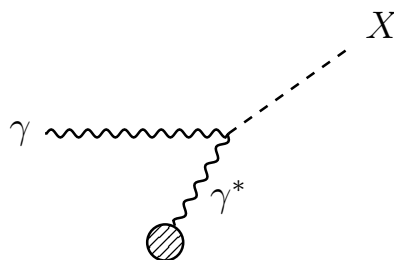
Injection 強度 (と decay volume の長さ)

$$N = N_{\text{inject}} n_{\text{target}} L \sigma \times \text{Acc}$$

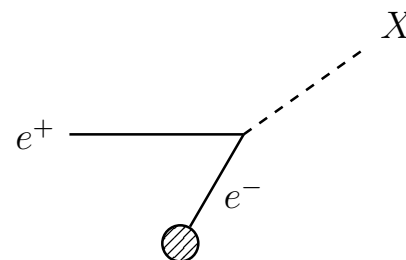
■ 今回考えた過程



Bremsstrahlung



Primakoff process

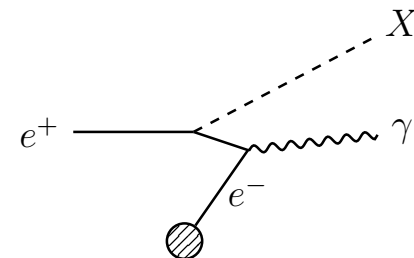
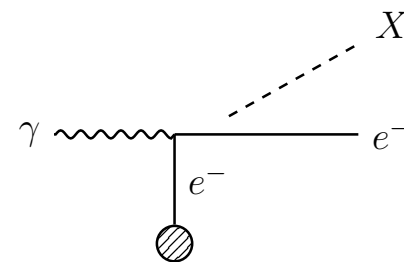


Pair annihilation

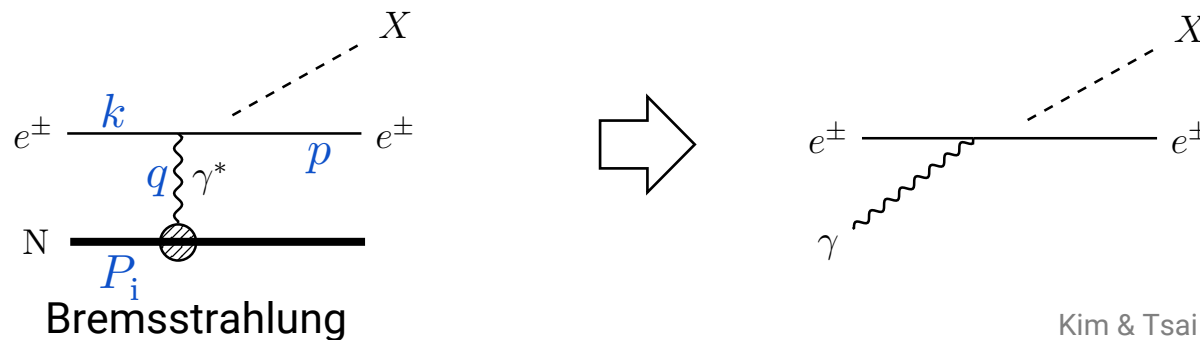
■ 他に生じうる過程 (寄与は小さい)

- Compton photoproduction
 - Pair annihilation 光子マシ
 - Shower 中の μ 粒子からの X の生成
- など.....

(最終的には Monte Carlo によりこれらも加えるべき)



■ 3-body への散乱は面倒：近似を利用



Kim & Tsai (1973), Tsai (1974), Tsai (1986)
 Bjorken, Essig, Philip Schuster, Toro [0906.0580]
 Liu, McKeen, Miller [1609.06781]

Weizsäcker-Williams 近似 (equivalence-photon 近似)

核子からの virtual photon γ^* \Rightarrow photon flux χ で重み付けられた on-shell photon γ

$$\frac{d\sigma_{2\rightarrow 3}}{d(p \cdot k)d(p \cdot P_i)} \approx \frac{\alpha}{\pi} \frac{\chi}{P_i \cdot (k - p)} \frac{d\sigma_{2\rightarrow 2}}{d(p \cdot k)} \Bigg|_{t=t_{\min}}$$

$k \gg m_X, m_e$ の場合に妥当な近似なので、図の右端ではやや不正確。

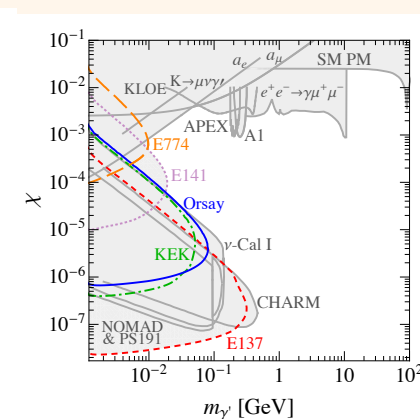
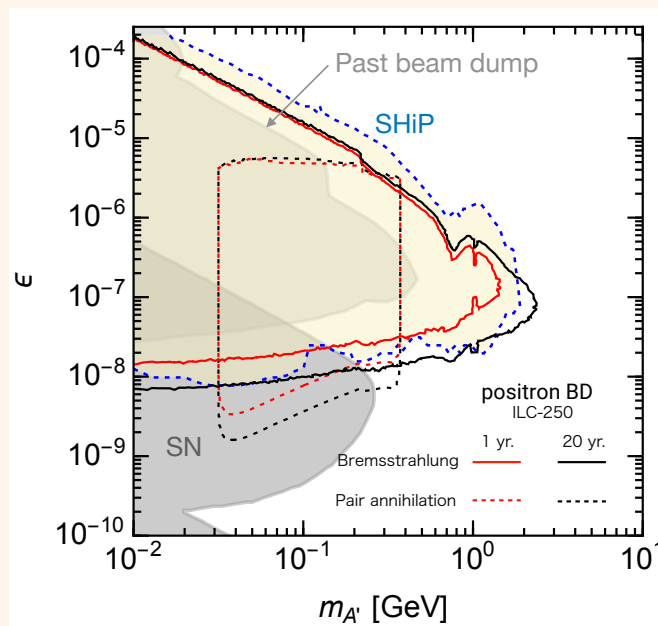
ILC beam dump 固定標的散乱。



- ✓ 「やや長寿命な軽い新粒子」 = intensity frontier
- ✓ 過去の実験より高性能。→ 「スツとできるゴミ利用s」
- ✓ 陽電子側の beam dump を使う方が若干良い。

要点

- ✓ Track length
- ✓ 感度曲線の物理的解釈
- ✓ Weizsäcker-Williams 近似



今後の展望

- (エイヤで決めた shower 角度や Acc ではなく) Monte Carlo simulation すべき
- もっと ILC で何かできないか? (dump は 2 つある)
- Intensity frontier をどう攻める? (オカネよりチエの問題)